



การควบคุมการแบ่งภาคโหลดในระบบกำเนิดพลังงานทดแทน

Diversion Load Controller in Renewable Energy Plant



นายนครเศรษฐ์ สุขทรัพย์ รหัส 46363289

นายประกาศิต รอดฉาย รหัส 46363305

5081452

| |
|---------------------------------|
| ห้องสมุดคณะวิศวกรรมศาสตร์ |
| วันที่รับ..... 7/10/2550 /..... |
| เลขทะเบียน..... 5000101 |
| เลขเรียกหนังสือ..... |
| มหาวิทยาลัยนเรศวร |

มร.
นฉนค.
๑๕๗๙.

ปริญญานิพนธ์นี้เป็นส่วนหนึ่งของการศึกษาหลักสูตรปริญญาวิศวกรรมศาสตรบัณฑิต

สาขาวิชาวิศวกรรมไฟฟ้า ภาควิชาวิศวกรรมไฟฟ้าและคอมพิวเตอร์

คณะวิศวกรรมศาสตร์ มหาวิทยาลัยนเรศวร

ปีการศึกษา 2549





ใบรับรองโครงการวิศวกรรม

| | | | |
|------------------|---|--|--|
| หัวข้อโครงการ | การควบคุมการแบ่งภาคโหลดในระบบกำเนิดพลังงานทดแทน | | |
| ผู้ดำเนินโครงการ | นายนรเศรษฐ์ สุขทรัพย์ รหัส 46363289 | | |
| | นายประกาศิต รอดฉาย รหัส 46363305 | | |
| อาจารย์ที่ปรึกษา | ดร. สมยศ เกียรติวนิชวิไล | | |
| สาขาวิชา | วิศวกรรมไฟฟ้า | | |
| ภาควิชา | วิศวกรรมไฟฟ้าและคอมพิวเตอร์ | | |
| ปีการศึกษา | 2549 | | |

คณะวิศวกรรมศาสตร์ มหาวิทยาลัยนครพนม อนุมัติให้โครงการฉบับนี้เป็นส่วนหนึ่งของการศึกษา
ตามหลักสูตรวิศวกรรมศาสตรบัณฑิต สาขาวิชาวิศวกรรมไฟฟ้า
คณะกรรมการสอบโครงการวิศวกรรม


.....ประธานกรรมการ
(ดร.สมยศ เกียรติวนิชวิไล)


.....กรรมการ
(ผู้ช่วยศาสตราจารย์ ดร.สุชาติ เข้มมน)


.....กรรมการ
(อาจารย์ปิยนัย ภาชนะพรรณ)

| | | | |
|------------------|---|-----------------|----------|
| หัวข้อโครงการ | การควบคุมการแบ่งภาคโหลดในระบบกำเนิดพลังงานทดแทน | | |
| ผู้ดำเนินโครงการ | นายนครเศรษฐ์ สุขทรัพย์ | รหัส | 46363289 |
| | นายประกาศิต รอดฉาย | รหัส | 46363305 |
| อาจารย์ที่ปรึกษา | ดร.สมยศ | เกียรติวินชวีไล | |
| สาขาวิชา | วิศวกรรมไฟฟ้า | | |
| ภาควิชา | วิศวกรรมไฟฟ้าและคอมพิวเตอร์ | | |
| ปีการศึกษา | 2549 | | |

บทคัดย่อ

ในหน่วยการผลิตกระแสไฟฟ้าขนาดเล็ก (pico plant) กำลังไฟฟ้าที่ผลิตได้จะขึ้นอยู่กับอัตราการไหลของมวลน้ำ ส่วนกำลังไฟฟ้านั้นขึ้นอยู่กับโหลดซึ่งหากมีค่าไม่เท่ากับกำลังไฟฟ้าที่ผลิตได้ จะส่งผลกระทบต่อระบบ อาทิเช่น หากโหลดภาระน้อยเกินไปค่าแรงดันที่ขั้วของมอเตอร์ที่นำมาใช้เป็นเครื่องกำเนิดไฟฟ้าจะเพิ่มมากกว่าค่าพิกัดที่มาก ส่งผลให้อุปกรณ์ทางไฟฟ้าเกิดการเสียหายได้ ดังนั้นเพื่อควบคุมให้แรงดันมีความสม่ำเสมอ ระบบจำเป็นต้องมีอุปกรณ์มาควบคุมกำลังไฟฟ้านั้นและด้านเข้า ให้มีค่าใกล้เคียงกัน

โครงการนี้จะทำการสร้างอุปกรณ์ที่มีชื่อว่า Diversion Load Controller โดยอุปกรณ์ดังกล่าวจะต่อขนานกับโหลดหลักซึ่งหาก กำลังไฟฟ้าที่ผลิตมีค่ามากกว่ากำลังไฟฟ้าถูกใช้ อุปกรณ์จะแบ่งกำลังไปทางโหลดของอุปกรณ์ ทำให้ผลรวมกำลังไฟฟ้าที่ใช้ กับกำลังไฟฟ้าที่ผลิตมีค่าใกล้เคียงกัน

อุปกรณ์นี้จะถูกควบคุมด้วยชุดไมโครคอนโทรลเลอร์ ซึ่งใช้ภาษาแอสเซมบลีในการโปรแกรม โดยชุดไมโครคอนโทรลเลอร์นี้จะทำหน้าที่สร้างสัญญาณพัลส์เข้าสู่วงจรขับโหลดโดยค่าความถี่ที่เกิดของสัญญาณพัลส์จะขึ้นอยู่กับแรงดันไฟฟ้าที่เข้าสู่โหลดหลัก

กิตติกรรมประกาศ

ปริญญานิพนธ์ฉบับนี้สำเร็จลุล่วงไปได้ด้วยดี โดยได้รับความช่วยเหลือจากหลาย ๆ ท่านด้วยกัน ผู้จัดทำขอถือโอกาสนี้ขอกราบขอบพระคุณ

ดร. สมยศ เกียรติวนิชวิไล ซึ่งเป็นอาจารย์ที่ปรึกษา และคณะกรรมการสอบโครงการงานทุกท่านที่ได้ให้คำปรึกษาชี้แนะแนวทางและข้อคิดเห็นต่าง ๆ ในการแก้ปัญหาที่เป็นประโยชน์อย่างสูง ในการทำโครงการนี้ให้สำเร็จลุล่วงไปด้วยดี

ขอบคุณเพื่อน ๆ นิสิตภาควิชาวิศวกรรมไฟฟ้าชั้นปีที่ 4 และพี่ ๆ ปริญญาโททุกท่านที่ได้ให้ความช่วยเหลือทุกด้านเสมอมา

ท้ายนี้ผู้จัดทำโครงการขอกราบขอบพระคุณบิดา มารดา ที่คอยสนับสนุนในด้านการเงิน และให้กำลังใจแก่ผู้จัดเสมอมาจนสำเร็จการศึกษา

คณะผู้จัดทำ

นายนรเศรษฐ์ สุขทรัพย์

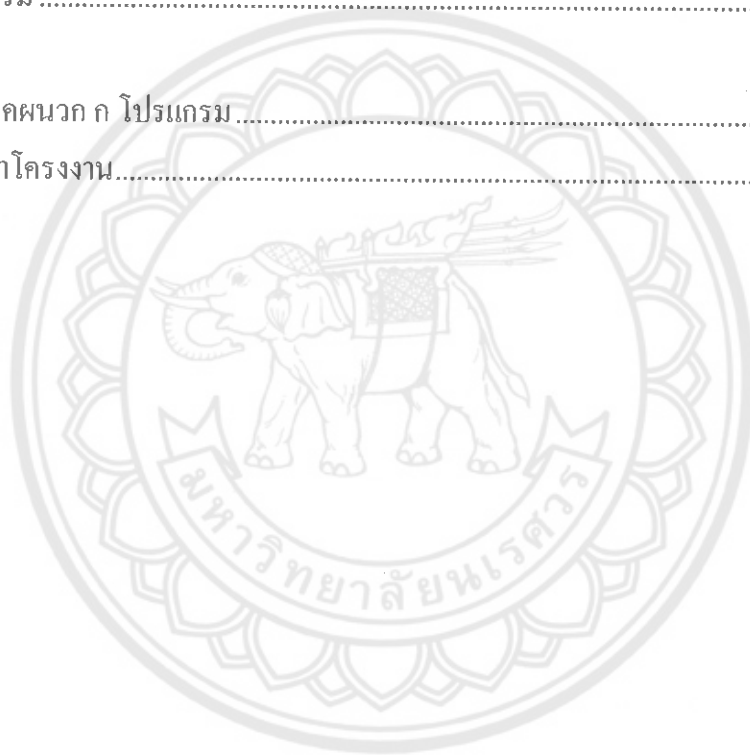
นายประกาศิต รอดฉาย

สารบัญ

| | หน้า |
|---|------|
| บทคัดย่อ | ก |
| Abstract | ข |
| กิตติกรรมประกาศ..... | ค |
| สารบัญ..... | ง |
| สารบัญตาราง..... | ฉ |
| สารบัญรูปภาพ..... | ช |
| บทที่ 1 บทนำ | |
| ที่มาและความสำคัญของโครงการ..... | 1 |
| วัตถุประสงค์ของโครงการ | 1 |
| ขอบข่ายโครงการ | 1 |
| ขั้นตอนการดำเนินงาน..... | 2 |
| ผลที่คาดว่าจะได้รับ | 2 |
| งบประมาณที่ใช้..... | 2 |
| บทที่ 2 ทฤษฎีพื้นฐาน | |
| กำลังไฟฟ้า..... | 3 |
| พาวเวอร์แฟกเตอร์..... | 5 |
| วงจรเรียงกระแสเฟสเดียวเต็มคลื่นแบบบริดจ์ไดโอด | 5 |
| ไมโครคอนโทรลเลอร์ | 7 |
| มอสเฟต | 14 |
| วงจรแบ่งแรงดัน | 17 |
| บทที่ 3 การออกแบบและสร้างเครื่อง Diversion Load Controller | |
| การศึกษาการทำงาน..... | 21 |
| การออกแบบวงจรและชุดควบคุม..... | 21 |
| การสร้างชิ้นงาน..... | 26 |
| การทดสอบชิ้นงาน | 27 |
| บทที่ 4 วิธีทำการทดสอบและผลการทดสอบ | |
| การทดสอบสัญญาณควบคุม..... | 28 |
| การทดสอบกับอินดักชั่นแมชชีน โดยไม่ได้ทำการต่อเครื่อง Diversion Load Controller .. | 30 |

สารบัญ (ต่อ)

| | หน้า |
|---|------|
| การทดสอบกับอินดัคชันแมชชีนโดยต่อเครื่อง Diversion Load Controller | 32 |
| บทที่ 5 สรุปผลและการวิเคราะห์ | |
| สรุปผล..... | 39 |
| ปัญหาที่พบ..... | 39 |
| แนวทางการแก้ไขปัญหา..... | 39 |
| บรรณานุกรม..... | 40 |
| ภาคผนวก | |
| ภาคผนวก ก โปรแกรม..... | 42 |
| ประวัติผู้ทำโครงการ..... | 45 |



สารบัญตาราง

| ตารางที่ | หน้า |
|--|------|
| 2.1 แสดงชื่อขา ตำแหน่งขา ชนิดขา และรายละเอียดการทำงาน ของไมโครคอนโทรลเลอร์ PIC16F877..... | 8 |
| 3.1 เปรียบเทียบอนาล็อกทูลดิจิตอล..... | 23 |
| 4.1 แสดงผลการทดสอบสัญญาณควบคุม..... | 29 |
| 4.2 แสดงผลการทดสอบกับอินดักชั่นแมชชีน โดยไม่ได้ทำการต่อเครื่อง Diversion Load Controller..... | 31 |
| 4.3 แสดงการทดสอบกับอินดักชั่นแมชชีน โดยต่อเครื่อง Diversion Load Controller | 33 |



สารบัญรูป

| รูปที่ | หน้า |
|---|------|
| 2.1 กระแสที่ไหลในวงจรล้าหลังแรงดันอยู่เป็นมุม ϕ | 4 |
| 2.2 กระแสถูกแตกให้อยู่ในรูปกระแสอินเฟสกับกระแสรีแอกทีฟ | 4 |
| 2.3 พาวเวอร์ไทรเองเกิ้ล..... | 5 |
| 2.4 วงจรเรียงกระแสเฟสเดียวเต็มคลื่นแบบบริดจ์ไดโอดพร้อมตัวเก็บประจุ..... | 6 |
| 2.5 แสดงรูปคลื่นที่ตกคร่อมตัวต้านทาน..... | 7 |
| 2.6 ขาต่าง ๆ ของไมโครคอนโทรลเลอร์..... | 7 |
| 2.7 แสดงไดอะแกรมของ PIC16F877 | 12 |
| 2.8 แสดงวงจรสมมูลของมอสเฟต..... | 14 |
| 2.9 โครงสร้างมอสเฟตแบบดีพลีชัน | 15 |
| 2.10 แสดงสัญลักษณ์ของมอสแบบดีพลีชัน | 15 |
| 2.11 แสดงโครงสร้างของมอสเฟตแบบเอนฮานซ์เมนต์ | 16 |
| 2.12 แสดงสัญลักษณ์มอสเฟตแบบเอนฮานซ์เมนต์ | 16 |
| 2.13 วงจรความต้านทานซึ่งต่อกันแบบอนุกรม | 17 |
| 2.14 วงจรความต้านทานอย่างง่ายของวงจรความต้านทานแบบอนุกรม | 19 |
| 3.1 บล็อกไดอะแกรม..... | 21 |
| 3.2 วงจรแปลงและลดระดับสัญญาณแรงดัน | 22 |
| 3.3 ไมโครคอนโทรลเลอร์ PIC16F877..... | 24 |
| 3.4 วงจรขยายสัญญาณควบคุม | 24 |
| 3.5 บล็อกไดอะแกรมแสดงการทำงานของโปรแกรม การสร้างสัญญาณจุดชนวนมอสเฟต..... | 25 |
| 3.6 แสดงวงจรของเครื่อง Diversion Load Controller..... | 26 |
| 3.7 แสดงเครื่อง Diversion Load Controller ที่ประกอบเสร็จสมบูรณ์ | 27 |
| 4.1 แสดงการทดสอบสัญญาณควบคุม | 28 |
| 4.2 แสดงตัวอย่างสัญญาณควบคุมที่แรงดันไฟฟ้า $3.68 V_{dc}$ | 29 |
| 4.3 แสดงการทดสอบกับอินดักชันแมชชีน โดยไม่ได้ทำการต่อเครื่อง Diversion Load Controller | 30 |
| 4.4 กราฟแสดงความสัมพันธ์ระหว่างกำลังไฟฟ้ากับแรงดันไฟฟ้าของภาระไฟฟ้าหลักเมื่อ ไม่ได้ต่อเครื่อง Diversion Load Controller..... | 31 |

สารบัญรูป (ต่อ)

| รูปที่ | หน้า |
|--|------|
| 4.5 แสดงการทดสอบกับอินดักชันแมชชีน (Induction Machines) | 32 |
| 4.6 กราฟแสดงความสัมพันธ์กำลังไฟฟ้าระหว่าง ภาระไฟฟ้าหลักกับภาระไฟฟ้าของเครื่อง Diversion Load Controller..... | 33 |
| 4.7 (ก) แสดงสัญญาณของภาระไฟฟ้าหลัก (โหลดไฟขนาด 100 W). (ข) ภาระไฟฟ้าของ เครื่อง Diversion Load Controller | 34 |
| 4.8 (ก) แสดงสัญญาณของภาระไฟฟ้าหลัก (โหลดไฟขนาด 60 W) (ข) ภาระไฟฟ้าของเครื่อง Diversion Load Controller | 35 |
| 4.9 (ก) แสดงสัญญาณของภาระไฟฟ้าหลัก (โหลดไฟขนาด 40 W) (ข) ภาระไฟฟ้าของเครื่อง Diversion Load Controller | 36 |
| 4.10 (ก) แสดงสัญญาณของไม่มีภาระไฟฟ้าหลัก (ข) ภาระไฟฟ้าของเครื่อง Diversion Load Controller | 37 |

บทที่ 1

บทนำ

1.1 ที่มาและความสำคัญ

ในระบบการผลิตไฟฟ้ากำลังโดยทั่วไปจะพบว่ากำลังไฟฟ้าด้านเข้าจะเท่ากับพลังงานทางกล ($p = \tau\omega$) ส่วนพลังงานด้านออกจะเท่ากับ $vi \cos\theta$ ซึ่งเห็นได้ว่ากำลังทางกลขึ้นอยู่กับอัตราการใช้ของน้ำ แต่เนื่องจากในหน่วยการผลิตกระแสไฟฟ้าขนาดเล็ก (pico plant) ซึ่งจะไม่มีการควบคุมอัตราการใช้ของน้ำ ส่งผลให้กำลังไฟฟ้าด้านเข้าไม่สามารถควบคุมได้ ส่วนกำลังไฟฟ้าด้านเอาต์พุตนั้นถูกใช้ไม่เท่ากันกับกำลังไฟฟ้าที่ผลิตได้ แรงดันที่ด้านเอาต์พุตของเครื่องจักรกลจะไม่คงที่ อาทิเช่น หากโหลดภาระน้อยเกินไปค่าแรงดันจะเพิ่มมากกว่าค่าพิกัดมาก ส่งผลให้อุปกรณ์ทางไฟฟ้าเกิดการเสียหายได้ ดังนั้นเพื่อควบคุมให้แรงดันมีความสม่ำเสมอ ระบบจำเป็นต้องมีมาควบคุมกำลังไฟฟ้าด้านออกและด้านเข้า ให้มีค่าใกล้เคียงกัน

1.2 วัตถุประสงค์ของโครงการ

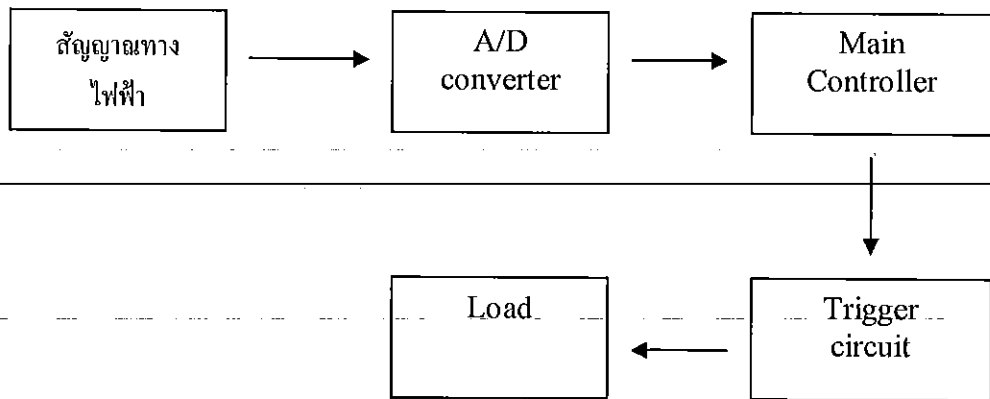
1. เพื่อสามารถสร้างเครื่อง Diversion Load Controller ในการควบคุมหน่วยผลิตไฟฟ้าขนาดเล็ก (ไม่เกิน 2 kW) ได้
2. สามารถนำความรู้ที่เรียนมาประยุกต์ใช้งานได้จริงกับระบบพลังงานทดแทน เช่น หน่วยผลิตกระแสไฟฟ้าจากกังหันลม พลังงานน้ำ

1.3 ขอบข่ายของโครงการ

จากความต้องการดังกล่าวนี้ เราต้องนำเรื่องพลังงาน (Power) และแรงดันไฟฟ้า (Voltage) ที่โหลดใช้มาทำการวิเคราะห์เพื่อออกแบบและสร้างวงจรควบคุมแรงดันขนาดพิกัด 220 V 1 kW และทดลองใช้จริงกับระบบพลังงานทดแทน โดยอุปกรณ์ไฟฟ้าจะต้องประกอบไปด้วยองค์ประกอบต่างๆดังนี้

1. ส่วนแปลงสัญญาณ (Transducer)
2. วงจรแปลงสัญญาณอนาล็อกเป็นดิจิทัล (A/D Converter)
3. ส่วนของหน่วยประมวลผล (Main Controller)
4. หน่วยควบคุมการไหลของกระแส (Trigger Circuit)

โดยส่วนประกอบทั้งหมดนี้จะต้องทำงานเรียงลำดับกันไปและจะต้องทำงานที่สอดคล้องกันเพื่อความถูกต้องแม่นยำของข้อมูลที่ได้ออกมา



1.4 ขั้นตอนการดำเนินงาน

| กิจกรรม | ปี 2548 | | ปี 2549 | | | |
|--|---------|------|---------|------|-------|-------|
| | พ.ย. | ธ.ค. | ม.ค. | ก.พ. | มี.ค. | เม.ย. |
| ศึกษาค้นคว้าข้อมูลตัวไมโครคอนโทรเลอร์ | ← | → | | | | |
| ศึกษาค้นคว้าข้อมูลA/D converter | | ← | → | | | |
| ออกแบบและเขียนโปรแกรม | | | ← | → | | |
| ทดลองระบบการทำงานและแก้ไขข้อผิดพลาดที่เกิดขึ้นในระบบ | | | | | ↔ | |
| สรุปการทดลองและทำรูปเล่มโครงการ | | | | | | ↔ |

1.5- ผลที่คาดว่าจะได้รับ

1. สามารถสร้างเครื่องDiversion Load Controller และนำไปใช้ได้จริง
2. มีความรู้ความเข้าใจเกี่ยวกับการเขียน โปรแกรมโดยใช้ภาษา Assembly
3. สามารถควบคุมกำลังไฟฟ้าที่โหลดต้องการใช้ได้

1.6 งบประมาณที่ใช้

ค่าวัสดุและอุปกรณ์ 2000 บาท (สองพันบาทถ้วน)

บทที่ 2

ทฤษฎีพื้นฐาน

ทฤษฎีพื้นฐานของเครื่อง Diversion Load Controller จะต้องใช้ความรู้ด้าน กำลังไฟฟ้า ไมโครคอนโทรลเลอร์ วงจรเรียงกระแสแบบบริดจ์ไดโอด และมอสเฟตมาใช้ในการสร้างเครื่องให้มีความสามารถในการทำงานได้อย่างมีประสิทธิภาพ

2.1 กำลังไฟฟ้า

กำลังไฟฟ้า คือ พลังงานที่ใช้ไป 1 หน่วยวินาทีที่มีหน่วยเป็น วัตต์(W) หรือจูลต่อวินาที กำลังไฟฟ้าที่เกิดขึ้นในวงจรกระแสตรงมีค่าเท่ากับ ผลคูณของแรงดันกับกระแสที่มีค่าคงที่และมีเฟสตรงกันซึ่งสามารถเขียนเป็นสมการได้ว่า

$$P = IE$$

เมื่อ P คือ กำลังไฟฟ้ามีหน่วยเป็นวัตต์(W)

I คือ กระแสไฟฟ้ามีหน่วยเป็นแอมป์แอมป์(A)

E คือ แรงดันไฟฟ้ามีหน่วยเป็น โวลต์(V)

กำลังไฟฟ้าที่เกิดขึ้นในวงจรกระแสสลับมีความสลับซับซ้อนมากกว่าวงจรกระแสตรง เพราะ แรงดันกระแสของไฟสลับมีการเปลี่ยนแปลงขนาด(amplitude)ตลอดเวลา นอกจากนี้มุมเฟสของวงจรที่เกิดขึ้นจากแรงดันกับกระแสยังมีการเปลี่ยนแปลงไปด้วยเมื่อใช้โหลดที่แตกต่างกัน ดังนั้น กำลังไฟฟ้าสลับที่เกิดขึ้น ณ เวลาชั่วขณะหนึ่งนั้นจะมีค่า เท่ากับผลคูณของแรงดันกับกระแสที่เกิดขึ้น ณ เวลาในขณะนั้น โดยเขียนเป็นสมการได้ว่า $p = ie$

การพิจารณาและคำนวณเกี่ยวกับกำลังไฟฟ้าที่เกิดขึ้น ในวงจรไฟฟ้ากระแสสลับในบทนี้ เราจะ พิจารณาออกเป็น 3 ลักษณะ

- 1) กำลังไฟฟ้าปรากฏ (apparent power) เป็นกำลังที่จ่ายให้แก่วงจร ซึ่งเป็นกำลังไฟฟ้าที่ปรากฏเห็นทาง โวลต์มิเตอร์และแอมมิเตอร์
- 2) กำลังไฟฟ้าจริง (true power)
- 3) กำลังไฟฟ้ารีแอกทีฟ (reactive power)

2.1.1 กำลังไฟฟ้าในวงจรที่มีตัวต้านทานเพียงอย่างเดียว

จะเห็นว่า กระแสกับแรงดันในวงจรจะอินเฟสกัน นั่นคือ ค่าชั่วขณะใด ๆ ของกระแสทุก ๆ ค่าที่เกิดขึ้น จะเกิดขึ้นพร้อม ๆ กัน หรือเกิดขึ้นในเวลาเดียวกันกับค่าชั่วขณะใด ๆ ของแรงดันทุก ๆ ค่าที่เกิดขึ้น ดังนั้นเขียนเป็นสมการ ได้ดังนี้

$$P = IE$$

2.1.2 กำลังไฟฟ้าในวงจรที่มีตัวเหนี่ยวนำ

จะพบว่า กระแสที่ไหลในวงจรจะล่าหลังแรงดันเป็นมุม ϕ ดังรูปที่ 2.1 จะเห็นว่า กระแส I ที่ไหลในวงจรจะล่าหลังแรงดัน E ที่จ่ายให้แก่วงจรอยู่เป็นมุม ϕ และในกรณีนี้แรงดันที่เกิดขึ้นจะไม่เท่ากับผลคูณของแรงดัน E กับกระแส I ที่ไหลในวงจร แต่จะมีค่าเท่ากับผลคูณแรงดัน E กับกระแส I ในส่วนที่เกิดขึ้นที่อินเฟสกับแรงดัน E ดังในรูปที่ 2.2 จะเห็นว่า กระแส I ที่ไหลในวงจรล่าหลังแรงดัน E เป็นมุม ϕ นั้นเราสามารถที่จะแตกให้อยู่ในรูปของกระแสอินเฟสกับกระแสรีแอกตีฟ ได้ซึ่งจะให้ความสัมพันธ์ดังนี้

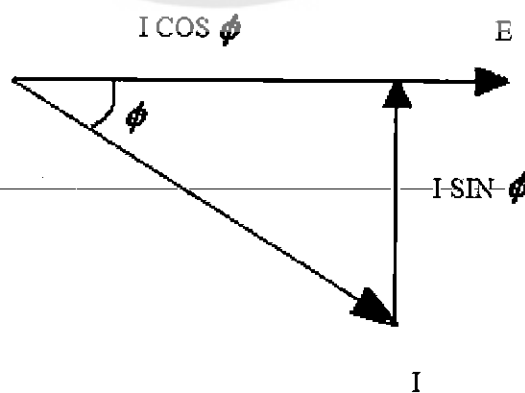
$$\text{กระแสอินเฟส} = I \cos \phi$$

$$\text{กระแสรีแอกตีฟ} = I \sin \phi$$

จากเฟสเซอร์ไดอะแกรมของกระแสในรูปที่ 2.2 เมื่อแรงดัน E คู่กับส่วนประกอบของกระแสทั้งสาม ก็จะได้ทิวาเวอร์ไทรแองเกิ้ล (Power triangle) ดังรูปที่ 2.3

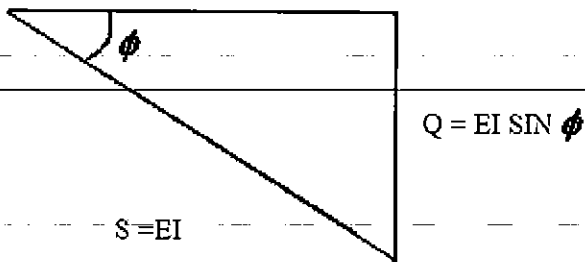


รูปที่ 2.1 กระแสที่ไหลในวงจรล่าหลังแรงดันอยู่เป็นมุม ϕ



รูปที่ 2.2 กระแสถูกแตกให้อยู่ในรูปกระแสอินเฟสกับกระแสรีแอกตีฟ

$$P = EI \cos \phi$$



รูปที่ 2.3 พาวเวอร์ไทรแองเกิ้ล

จากพาวเวอร์ไทรแองเกิ้ลในรูปที่ 2.3 จะได้

$$\text{กำลังไฟฟ้าปรากฏ (S)} = \text{แรงดัน} \times \text{กระแส} = EI$$

$$\text{กำลังไฟฟ้าจริง (P)} = \text{แรงดัน} \times \text{กระแสอินเฟส} = EI \cos \phi$$

$$\text{กำลังไฟฟ้ารีแอกทีฟ (Q)} = \text{แรงดัน} \times \text{กระแสรีแอกทีฟ} = EI \sin \phi$$

2.2 พาวเวอร์แฟกเตอร์

พาวเวอร์แฟกเตอร์ (PF) หมายถึงอัตราส่วนของกำลังไฟฟ้าจริงที่วัดได้จากวัตต์มิเตอร์ต่อกำลังไฟฟ้าที่ปรากฏที่วัดได้จาก โวลต์มิเตอร์และแอมมิเตอร์ ซึ่งสามารถเขียนเป็นสมการได้ดังนี้

$$PF = \frac{P}{S} = \cos \phi$$

2.3 วงจรเรียงกระแสเฟสเดียวเต็มคลื่นแบบบริดจ์ไดโอด

วงจรเรียงกระแสเป็นวงจรที่ทำหน้าที่ เปลี่ยนแรงดันไฟฟ้ากระแสสลับให้เป็นแรงดันไฟฟ้ากระแสตรงแบบเต็มคลื่น ประกอบด้วยไดโอดจำนวน 4 ตัว และทรานฟอร์มเมอร์ไม่ ต้องมี center tap โดยมีหลักการทำงานดังนี้

เมื่อมีแรงดันไฟฟ้าสัญญาณในครึ่งไซเคิลบวก ไดโอด D_1 กับ D_3 ได้รับการ forward bias ส่วนไดโอด D_2 กับ D_4 ได้รับ reverse bias จึงไม่นำกระแส ทำให้มีกระแสไหลผ่านไดโอด D_1 ผ่านโหลดตัวต้านทาน R_L ผ่าน D_3 เกิดแรงดันตกคร่อมที่โหลดตัวต้านทาน R_L มีค่าเท่ากับแรงดันที่ป้อน V_m

เมื่อมีแรงดันไฟฟ้าสัญญาณในครึ่งไซเคิลลบ ไดโอด D_1 กับ D_3 ได้รับการ reverse bias ในขณะที่ไดโอด D_2 กับ D_4 ได้รับ forward bias จึงนำกระแส ทำให้มีกระแสไหลผ่านไดโอด D_1

ผ่านโหลดตัวต้านทาน R , ผ่าน D_3 เกิดแรงดันตกคร่อมที่โหลดตัวต้านทาน R มีค่าเท่ากับแรงดันที่ป้อน V_m

2.1.1 ตัวกรองความถี่ด้วยตัวเก็บประจุ

วงจรเรียงกระแส ทำหน้าที่ในการเปลี่ยนแรงดันกระแสไฟฟ้ากระแสสลับเป็นแรงดันไฟฟ้ากระแสตรงด้านออก หน้าที่หลักของตัวเก็บประจุก็คือการลดการเปลี่ยนแปลงแรงดันไฟฟ้าด้านออกของวงจรให้มีค่าลดลง หรือหมายถึง ทำให้แรงดันไฟฟ้าด้านออกมีค่าใกล้เคียงแหล่งจ่ายแรงดันไฟฟ้ากระแสตรงมากยิ่งขึ้น และความต้านทานจะแทนส่วนของโหลด ในขณะที่ตัวเก็บประจุจะทำหน้าที่เป็นวงจรกรองความถี่ (filter)

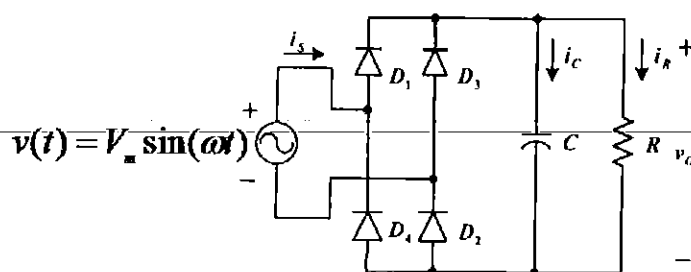
ถ้าสมมติให้ตัวเก็บประจุมีค่าแรงดันไฟฟ้าเริ่มต้นเท่ากับศูนย์ ที่เวลา $\omega t = 0$ เมื่อตัวเก็บประจุสะสมประจุไปจนกระทั่งแรงดันไฟฟ้าที่ตกคร่อมตัวเก็บประจุมีค่าเท่ากับแรงดันไฟฟ้าสูงสุดของแหล่งจ่าย (V_m) ซึ่งแรงดันไฟฟ้าจากแหล่งจ่ายมีค่าสูงสุดที่ $\omega t = (\pi/2)$

ที่เวลา $\omega t > (\pi/2)$ แรงดันไฟฟ้าของแหล่งจ่ายจะเริ่มมีค่าลดลง เป็นผลทำให้ตัวเก็บประจุทำการคายประจุ จ่ายพลังงานให้โหลด จนกระทั่งค่าแรงดันไฟฟ้าของแหล่งจ่ายมีค่าน้อยกว่าแรงดันไฟฟ้าด้านออกจนมีผลทำให้ไดโอดหยุดนำกระแส ทำให้แรงดันด้านออกมีค่าลดลงแบบเอ็กซ์โพเนนเชียล ด้วยค่าคงที่ RC

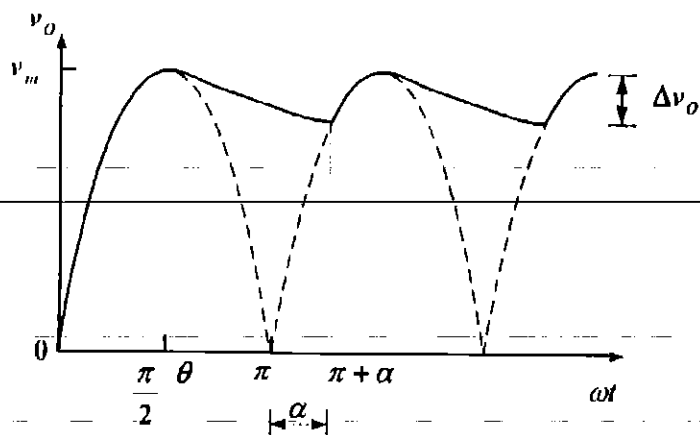
ณ จุดที่ไดโอดหยุดนำกระแส $\omega t = \theta$ ซึ่งจะได้แรงดันด้านออกเท่ากับ

$$v_o(t) = |V_m \sin(\omega t)| \quad \text{ไดโอด 1 คู่ นำกระแส}$$

$$v_o(t) = [V_m \sin(\theta)] \cdot e^{-\frac{(\omega t - \theta)}{\omega RC}} \quad \text{ไดโอดไม่ นำกระแส}$$



รูปที่ 2.4 วงจรเรียงกระแสเฟสเดียวเต็มคลื่นแบบบริดจ์ไดโอดพร้อมตัวเก็บประจุ

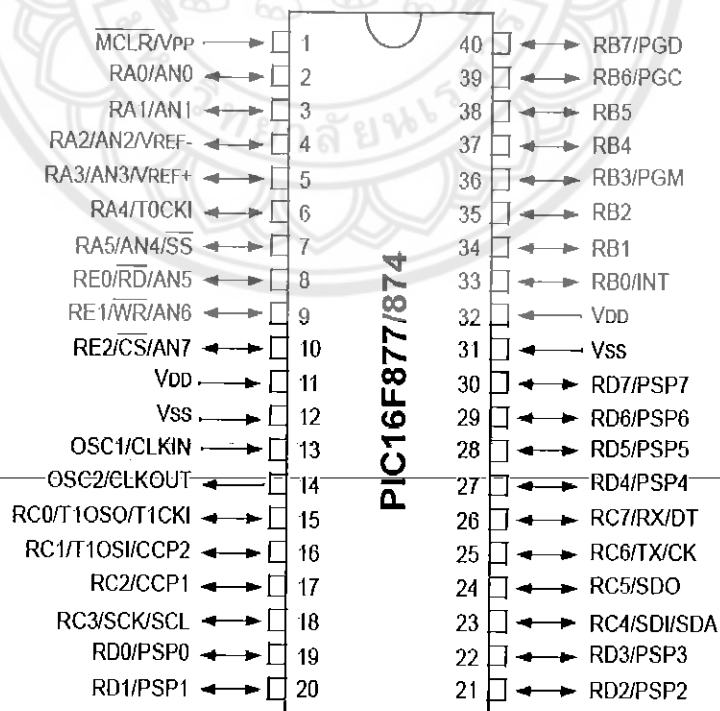


รูปที่ 2.5 แสดงรูปคลื่นที่ตกคร่อมตัวต้านทาน

2.4 ไมโครคอนโทรลเลอร์

ปัจจุบันมีการพัฒนาและแข่งขันทางด้านเทคโนโลยีผลิตชิ้นส่วนสารกึ่งตัวนำ ที่นำไปสร้างเป็นไอซีประสิทธิภาพสูงมากขึ้นและมีเทคโนโลยีที่เกิดจากการผลิตของบริษัทต่างๆ ซึ่งส่งผลให้การผลิตไอซีมีขนาดเล็กลงและมีประสิทธิภาพและคุณสมบัติมากขึ้น

2.2.1 ไมโครคอนโทรลเลอร์ PIC 16F877



รูปที่ 2.6 ขาต่างๆ ของไมโครคอนโทรลเลอร์

ตารางที่ 2.1 แสดงชื่อขา ตำแหน่งขา ชนิดขา และรายละเอียดการทำงานของไมโครคอนโทรลเลอร์ PIC16F877

| ชื่อขา | ตำแหน่งขา | ชนิดของขา | รายละเอียดการทำงาน |
|-------------------|-----------|---------------------|--|
| OSC1/CLKIN | 13 | อินพุต | - ขาต่อคริสตอล / รับสัญญาณนาฬิกาจากภายนอก |
| OSC2/CLKOUT | 14 | เอาต์พุต | - ขาต่อคริสตอล / ในโหมด RC เป็นขาเอาต์พุตสัญญาณนาฬิกาความถี่ 1/4 ของสัญญาณที่ขา OSC1 |
| MCLR/Vpp | 1 | อินพุต | - ขารับสัญญาณรีเซตหลักทำงานที่ลอจิก "0" - ขารับแรงดันโปรแกรม |
| RA0/AN0 | 2 | อินพุต/ เอาต์พุต | - ขาพอร์ต RA0 - อินพุตวงจรแปลงสัญญาณอนาลอกเป็นดิจิตอลช่อง 0 |
| RA1/AN1 | 3 | อินพุต/ เอาต์พุต | - ขาพอร์ต RA1 - อินพุตวงจรแปลงสัญญาณอนาลอกเป็นดิจิตอลช่อง 1 |
| RA2/AN2/VREF - | 4 | อินพุต/ เอาต์พุต | - ขาพอร์ต RA2 - อินพุตวงจรแปลงสัญญาณอนาลอกเป็นดิจิตอลช่อง 2 - อินพุตแรงดันอ้างอิงลบของวงจรแปลงสัญญาณอนาลอกเป็นดิจิตอล |
| RA3/AN3/VREF + | 5 | อินพุต/ เอาต์พุต | - ขาพอร์ต RA3 - อินพุตวงจรแปลงสัญญาณอนาลอกเป็นดิจิตอลช่อง 3 - อินพุตแรงดันอ้างอิงบวกของวงจรแปลงสัญญาณอนาลอกเป็นดิจิตอล |
| RA4/T0CKI | 6 | อินพุต/ เอาต์พุต | - ขาพอร์ต RA4 - อินพุตสัญญาณนาฬิกาของไทมเมอร์ 0 |
| RA5/AN4/SS | 7 | อินพุต/ เอาต์พุต | - ขาพอร์ต RA5 - อินพุตวงจรแปลงสัญญาณอนาลอกเป็นดิจิตอลช่อง 4 |

ตารางที่ 2.1 (ต่อ) แสดงชื่อขา ตำแหน่งขา ชนิดขา และรายละเอียดการทำงานของไมโครคอนโทรลเลอร์

PIC16F877

| ชื่อขา | ตำแหน่งขา | ชนิดของขา | รายละเอียดการทำงาน |
|---------------------|-----------|---------------------|---|
| | | | - ขาสัญญาณ Slave Select ใช้ในการสื่อสารข้อมูล อนุกรมแบบซิงโครนัส |
| RB0/INT | 33 | อินพุต/ เอาต์พุต | - ขาพอร์ต RB0 - อินพุตรับสัญญาณอินเตอร์รัปต์จากภายนอก |
| RB1 | 34 | อินพุต/ เอาต์พุต | - ขาพอร์ต RB1 |
| RB2 | 35 | อินพุต/ เอาต์พุต | - ขาพอร์ต RB2 |
| RB3/PGM | 36 | อินพุต/ เอาต์พุต | - ขาพอร์ต RB3 - อินพุตรับแรงดันโปรแกรมต่ำถ้าเอ็นเอเบิลไว้ |
| RB4 | 37 | อินพุต/ เอาต์พุต | - ขาพอร์ต RB4 |
| RB5 | 38 | อินพุต/ เอาต์พุต | - ขาพอร์ต RB5 |
| RB6/PGC | 39 | อินพุต/ เอาต์พุต | - ขาพอร์ต RB6 - ขาสัญญาณนาฬิกาของการดีบั๊กในวงจร |
| RB7/PGD | 40 | อินพุต/ เอาต์พุต | - ขาพอร์ต RB7 - ขาสัญญาณนาฬิกาของการดีบั๊กในวงจร |
| RC0/T1OSO/ T1CKI | 15 | อินพุต/ เอาต์พุต | - ขาพอร์ต RB7 - เอาต์พุตวงจรออสซิลเลเตอร์ของไทเมอร์ 1 - อินพุตสัญญาณนาฬิกาของไทเมอร์ 1 |
| RC1/T1OSI/ | 16 | อินพุต/ เอาต์พุต | -ขาพอร์ต RC1 |
| CCP2 | | เอาต์พุต | -อินพุตวงจรออสซิลเลเตอร์ของไทเมอร์1 -อินพุตวงจรแคปเจอร์/เอาต์พุตวงจรเปรียบเทียบ/ เอาต์พุต PWM สำหรับ โมดูล CCP2 |
| RC2/CPPI | 17 | อินพุต/ เอาต์พุต | -ขาพอร์ต RC2 -อินพุตวงจรแคปเจอร์/เอาต์พุตวงจรเปรียบเทียบ/ เอาต์พุต PWM สำหรับ โมดูล CCP1 |

ตารางที่ 2.1 (ต่อ) แสดงชื่อขา ตำแหน่งขา ชนิดขา และรายละเอียดการทำงานของไมโครคอนโทรลเลอร์

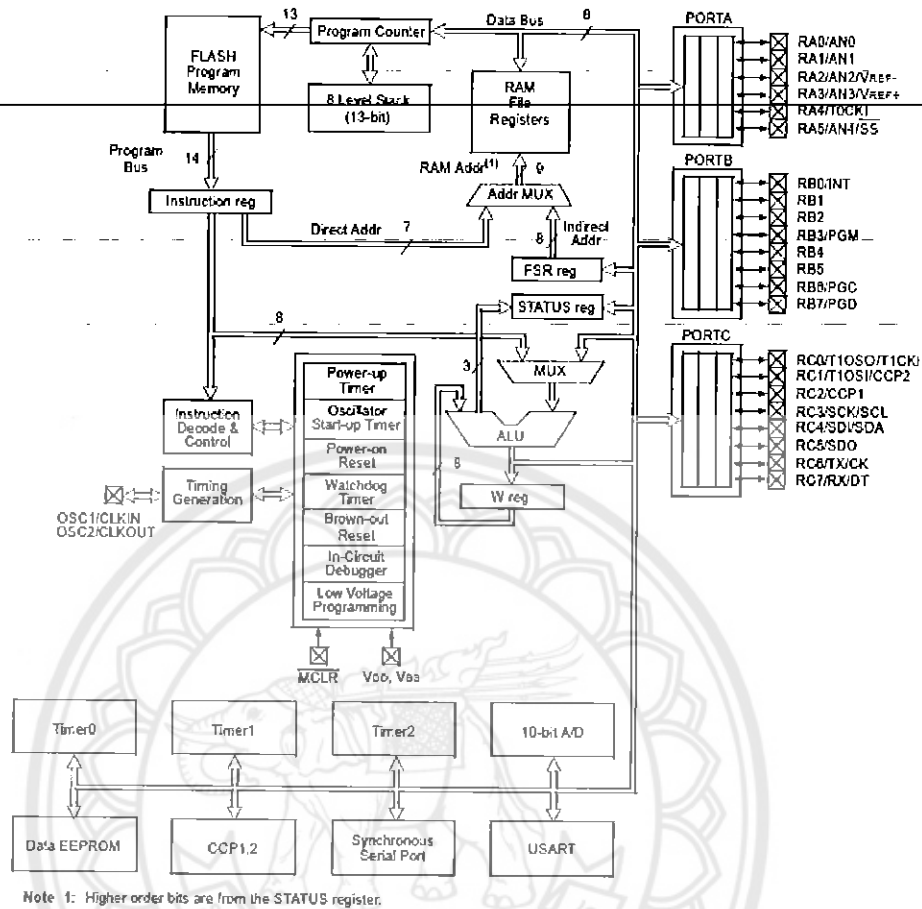
PIC16F877

| ชื่อขา | ตำแหน่งขา | ชนิดของขา | รายละเอียดการทำงาน |
|-------------|-----------|---------------------|---|
| RC3/SCK/SCL | 18 | อินพุต/ เอาต์พุต | -ขาพอร์ต RC3 -ขาสัญญาณนาฬิกาของวงจร SPI และระบบบัส I ² C |
| RC4/SDI/SDA | 23 | อินพุต/ เอาต์พุต | -ขาพอร์ต RC4 -ขาข้อมูลอินพุตวงจร SPI -ขาข้อมูลอนุกรมของระบบบัส I ² C |
| RC5/SDO | 24 | อินพุต/ เอาต์พุต | -ขาพอร์ต RC5 -ขาข้อมูลเอาต์พุตวงจร SPI |
| RC6/TX/CK | 25 | อินพุต/ เอาต์พุต | -ขาพอร์ต RC6 -ขาเอาต์พุตวงจร USART สำหรับเชื่อมต่อพอร์ต อนุกรม |
| RC7/RX/DT | 26 | อินพุต/ เอาต์พุต | -ขาพอร์ต RC7 -ขาอินพุตวงจร USART สำหรับเชื่อมต่อพอร์ต อนุกรม |
| RD0/PSP0 | 19 | อินพุต/ เอาต์พุต | -ขาพอร์ต RD0 -ขาขยายพอร์ตแบบขนานบิต 0 |
| RD1/PSP1 | 20 | อินพุต/ เอาต์พุต | -ขาพอร์ต RD1 -ขาขยายพอร์ตแบบขนานบิต 1 |
| RD2/PSP2 | 21 | อินพุต/ เอาต์พุต | -ขาพอร์ต RD2 -ขาขยายพอร์ตแบบขนานบิต 2 |
| RD3/PSP3 | 22 | อินพุต/ เอาต์พุต | -ขาพอร์ต RD3 -ขาขยายพอร์ตแบบขนานบิต 3 |
| RD4/PSP4 | 27 | อินพุต/ เอาต์พุต | -ขาพอร์ต RD4 -ขาขยายพอร์ตแบบขนานบิต 4 |
| RD5/PSP5 | 28 | อินพุต/ เอาต์พุต | -ขาพอร์ต RD5 -ขาขยายพอร์ตแบบขนานบิต 5 |
| RD6/PSP6 | 29 | อินพุต/ เอาต์พุต | -ขาพอร์ต RD6 -ขาขยายพอร์ตแบบขนานบิต 6 |
| RD7/PSP7 | 30 | อินพุต/ เอาต์พุต | -ขาพอร์ต RD7 |

ตารางที่ 2.1 (ต่อ) แสดงชื่อขา ตำแหน่งขา ชนิดขา และรายละเอียดการทำงานของไมโครคอนโทรลเลอร์ PIC16F877

| ชื่อขา | ตำแหน่งขา | ชนิดของขา | รายละเอียดการทำงาน |
|----------------------------------|-----------|---------------------|--|
| | | เอาต์พุต | -ขาขยายพอร์ตแบบขนานบิต 7 |
| RE0/ $\overline{\text{RD}}$ /AN5 | 8 | อินพุต/ เอาต์พุต | -ขาพอร์ต RE0 -อินพุตวงจรแปลงสัญญาณอนาล็อกเป็นดิจิตอล ช่อง 5 -ขาสัญญาณ RD ส่วนขยายพอร์ตแบบขนาน |
| RE1/ $\overline{\text{WR}}$ /AN6 | 9 | อินพุต/ เอาต์พุต | -ขาพอร์ต RE1 -อินพุตวงจรแปลงสัญญาณอนาล็อกเป็นดิจิตอล ช่อง 6 -ขาสัญญาณ WR ส่วนขยายพอร์ตแบบขนาน |
| RE2/ $\overline{\text{CS}}$ /AN7 | 10 | อินพุต/ เอาต์พุต | -ขาพอร์ต RE2 -อินพุตวงจรแปลงสัญญาณอนาล็อกเป็นดิจิตอล ช่อง 7 -ขาสัญญาณ CSn ส่วนขยายพอร์ตแบบขนาน |
| V _{DD} | 11,32 | อินพุต | -ขาต่อไฟเลี้ยง ใช้ได้ตั้งแต่ +2 ถึง +5.5V |
| V _{SS} | 12,31 | อินพุต | -ขาต่อกราวด์ |

2.1.2 โครงสร้างภายในชิพ



รูปที่ 2.7 แสดงโคแระแกรมของ PIC16F877

จากแผนผังจะมี Register สำคัญ ๆ คือ W ซึ่งเป็น Register ที่ใช้ในการทำเป็น Input ให้กับ ALU และเป็นตัวเก็บผลลัพธ์จากการทำงานของ ALU, STATUS เป็น Register ที่ใช้เก็บสถานะ การทำงานของคำสั่ง ว่าเมื่อคำสั่งทำงานเสร็จแล้วเกิดอะไรขึ้นบ้าง ซึ่งมีประโยชน์ในการเขียนโปรแกรมแบบมีเงื่อนไข PC หรือ Program Counter เป็น Register อีกตัวหนึ่งที่มีความสำคัญ เนื่องจากใช้สำหรับเป็นตัวชี้ว่า คำสั่งที่จะนำมาประมวลผลนั้นอยู่ ณ ตำแหน่งใดในหน่วยความจำ

2.2.3 คุณสมบัติของ PIC16F877

2.2.3.1 มีคำสั่งให้ใช้งาน 35 คำสั่ง

2.2.3.2 คำสั่งหนึ่งๆ ใช้เวลาทำงาน 1 ถึง 2 Cycle

2.2.3.3 ทำงานได้สูงสุดที่ 20MHz (PIC16F877-20/P ไม่ใช่ 16F877-04/p)

2.2.3.4 ทำงานแบบ Pipe-line (มี 2 ท่อ) ทำให้ ณ เวลาหนึ่งทำงาน 2 อย่างพร้อม ๆ กันได้

- 2.2.3.5 หน่วยความจำโปรแกรมเป็นแบบ Flash มีขนาด 8 K Word
(1 word=14 บิต)
- 2.2.3.6 มี RAM ขนาด 368 ไบต์ ให้เราใช้งาน
- 2.2.3.7 มี EEPROM ขนาด 256 ไบต์
- 2.2.3.8 ตอบสนองกับอินเทอร์รัปต์ได้ทั้งหมด 14 แหล่ง
- 2.2.3.9 มี Stack ให้ใช้ได้สูงสุด 8 ระดับ
- 2.2.3.10 มีระบบ Power On Reset, Power Up Timer, Oscillator Start-up timer
- 2.2.3.11 Watchdog timer
- 2.2.3.12 มีระบบ Code Protection
- 2.2.3.13 มีโหมดประหยัดเงิน
- 2.2.3.14 สัญญาณนาฬิกา มีหลายโหมดให้เลือกใช้งาน คือ อาจจะใช้ XTAL หรือ วงจร RC ได้
- 2.2.3.15 สามารถโปรแกรมด้วยไฟ +5 VDC ได้
- 2.2.3.16 ใช้การโปรแกรมแบบ In-Circuit Serial Programming
- 2.2.3.17 ทำงานที่ไฟเลี้ยง 2 VDC ถึง 5.5 VDC
- 2.2.3.18 Current Sink และ Current Source อยู่ที่ 25 mA
- 2.2.3.19 มี Timer/Counter 3 ตัว
- 2.2.3.20 มีโมดูล Capture/Compare/PWM อีก 2 ชุด (มีระบบ PWM ควบคุม DC Motor ได้)
- 2.2.3.21 มี A-TO-D Converter แบบ 10 บิต จำนวน 8 ช่องนำเข้าไปในตัว
- 2.2.3.22 มีระบบ USART สำหรับต่อกับ การสื่อสารแบบ RS232
- 2.2.3.23 มีระบบตรวจระดับไฟเลี้ยง (Brown-out reset)
- 2.2.3.24 มี I/O พอร์ตทั้งหมด 5 พอร์ต (แต่ว่าแต่ละพอร์ต มีจำนวนบิตไม่เท่ากัน)

2.1.4 หน้าที่ของพอร์ตต่างๆที่ใช้งาน

2.1.4.1 PORT A ใช้ในการแปลงสัญญาณอนาล็อกชุดดิจิทัล

PORTA มีขนาด 6 บิต ซึ่งเป็นพอร์ต ที่เป็นได้ทั้ง อินพุตและเอาต์พุต โดยเลือกแบบใดแบบหนึ่ง สามารถเลือกได้จากรีจิสเตอร์ ที่มีชื่อว่า TRISA ซึ่งถ้า TRISA บิตถูกเซตเป็น '1' PORT A ที่มีหมายเลขบิตเดียวกันนั้นก็ทำงานเป็นอินพุตส่วนถ้า TRISA บิตจะถูกเซตเป็น '0' PORT A ที่มีหมายเลขบิตเดียวกันนั้นก็ทำงานเป็นเอาต์พุต (พอร์ตจะอยู่ในสถานะเอาต์พุต แลทซ์) การอ่านค่า PORTA รีจิสเตอร์คือการอ่านค่าสถานะของขา PORTA ในขณะนั้น ส่วนการเขียนค่าไปยัง PORTA คือการเขียนไปยังแลทซ์ของพอร์ต ลักษณะการเขียนจะเป็นแบบ Read-

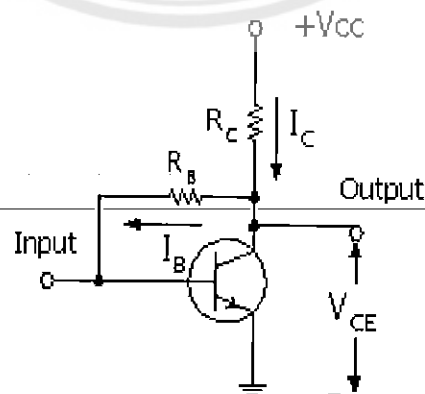
Modify-Write-Operation ซึ่งหมายความว่า ในการเขียนไปยังพอร์ทจะเริ่มด้วยการอ่านค่าพอร์ทนั้นมาก่อนแล้วทำการเปลี่ยนแปลงค่าจากนั้นก็ทำการเขียนกลับไปยังพอร์ทแลทซ์ อีกครั้งหนึ่ง ขา RA4 จะถูกเชื่อมหลายทางกับ Timer0 โมดูลสัญญาณนาฬิกาอินพุต ซึ่งจะเรียกรวม ๆ ว่า RA/TOCKI โดยที่ขา RA/TOCKI จะเป็นลักษณะแบบอินพุตแบบสมิตทริกเกอร์ (Schmitt Trigger) และเอาต์พุตแบบเปิดพอร์ท RA ทั้งหมด จะมีระดับอินพุต TTL และมีเอาต์พุตแบบตัวขับ CMOS แบบเต็ม ส่วน PORT A ขาอื่น ๆ จะถูกเชื่อมจากขาอนาล็อกอินพุตและแรงดันอ้างอิง A/D อินพุตซึ่งการกำหนดการทำงานของแต่ละขาสามารถเลือกได้โดย ยกเลิกหรือเซตบิตคอนโทรล ใน ADCON1 รีจิสเตอร์

2.1.4.2 PORT B ของ PIC16F877 ใช้สำหรับทำการจุดชนวนมอสเฟต

PORT B เป็นลักษณะพอร์ทแบบสองทิศทาง ซึ่งรีจิสเตอร์ที่เป็นตัวกำหนดค่าว่าพอร์ทใดจะเป็นแบบอินพุตหรือเอาต์พุต จะถูกกำหนดโดย TRISB รีจิสเตอร์ ถ้า TRISB บิตใดเป็น '1' PORT B ที่บิตนั้นก็จะอินพุต ถ้ายกเลิก TRISB บิตใดเป็น '0' PORT B ที่บิตนั้นก็จะเอาต์พุตขาสามขาของ PORT B จะเชื่อมต่อหลายทางกับฟังก์ชันการ โปรแกรมด้านแรงดันต่ำ (Low Voltage Programming Function) ซึ่งได้แก่ RB3/PGM, RB6/PGC และ RB7/PGD

2.5 มอสเฟต (MOSFETs)

มอสเฟตมาจากคำว่า Metal Oxide Semiconductor Field Effect Transistor เป็นเฟตที่ประกอบด้วยสารกึ่งตัวนำซึ่งได้รับการเคลือบผิวบางส่วนด้วยโลหะออกไซด์ชั้นของมอสเฟตคือมีค่าความต้านทานอินพุตสูงมาก

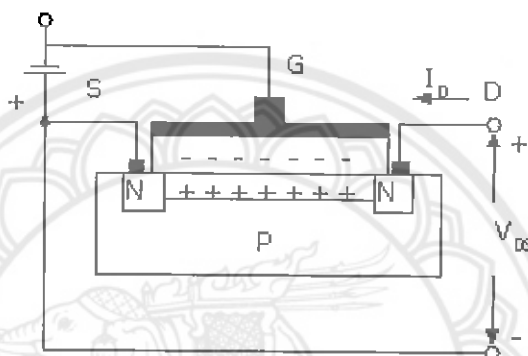


รูปที่ 2.8 แสดงวงจรสมมูลของมอสเฟต

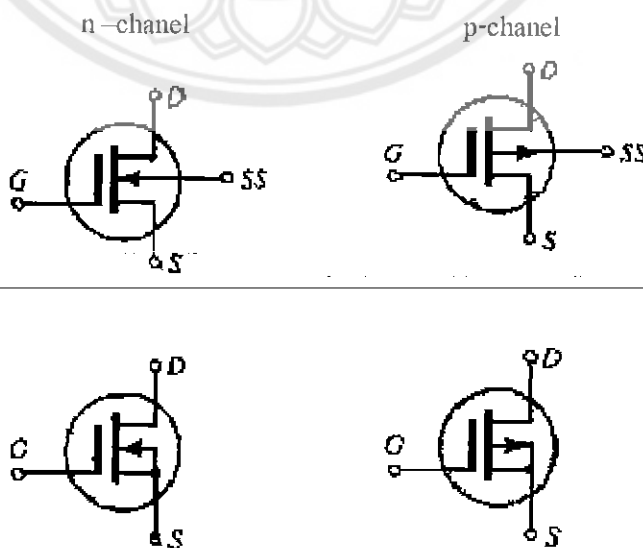
(จาก <http://www.chontech.ac.th>)

มอสเฟตจะแบ่งออกเป็น 2 ชนิด คือ ดีพลีชัน (Depletion) และเอนฮานซ์เมนต์ (Enhancement) แต่ละประเภทแบ่งออกเป็น 2 แบบ แบบแชนเนลเอ็น (n) แบบแชนเนลพี (p)

การทำงานของมอสเฟตแบบดีพลีชันหรือดีมอสเฟต (D-MOSFET) พิจารณาตามรูป ให้เกต (GATE) มีแรงดันเป็นลบเมื่อเปรียบเทียบกับซอร์ส (SOURCE) จะทำให้ประจุลบเกิดขึ้นที่เกตและเกิดประจุบวกขึ้นทางด้านที่ติดฉนวนซิลิกอนออกไซด์ส่งผลให้เนื้อสารเอ็นที่มีอยู่น้อยมีขนาดลดลงทำให้ช่องว่างระหว่างขาคเรนและซอร์สมากขึ้นกระแสก็จะไหลได้น้อยลง

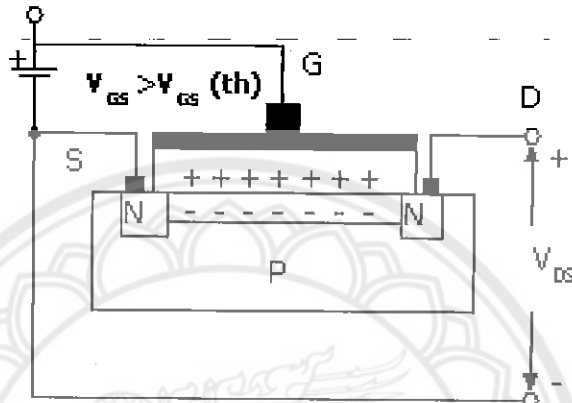


รูปที่ 2.9 โครงสร้างมอสเฟตแบบดีพลีชัน (จาก <http://www.chontech.ac.th>)

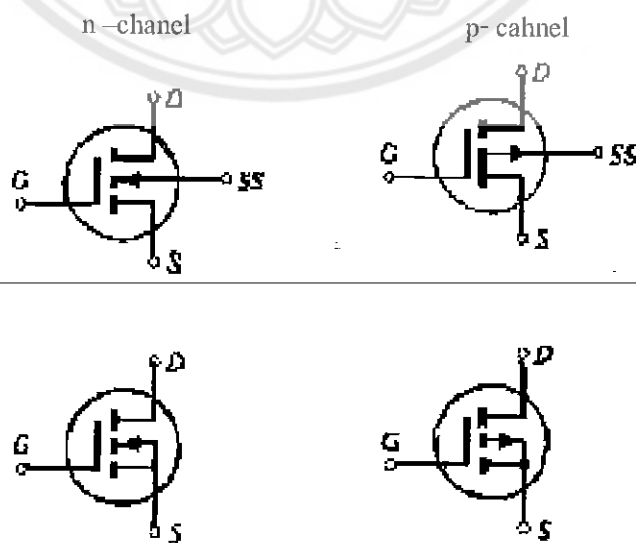


รูปที่ 2.10 แสดงสัญลักษณ์ของมอสแบบดีพลีชัน (จาก <http://www.chontech.ac.th>)

การทำงานของมอสเฟตแบบเอ็นฮานซ์เมนต์ (Enhancement) พิจารณาจากรูปที่ เนื่องจากสารเอ็นที่ขาคเรนและซอร์สเป็นสารพีซึ่งแตกต่างจากมอสเฟตแบบดีพลีชันทำให้เมื่อป้อนแรงดันบวกเข้าที่ขาคเกตเกิดประจุลบขึ้นทำให้อิเล็กตรอนเคลื่อนที่จากสารเอ็นที่ซอร์สมาขาคเรนได้ดังนั้นมอสเฟตแบบนี้จะทำงานได้ ต้องป้อนแรงดันที่ขาคเกตเป็นแรงดันบวกเท่านั้นและแรงดันระหว่างขาคเกตและซอร์ส ที่ป้อนให้นี้ต้องมีค่ามากกว่า



รูปที่ 2.11 แสดงโครงสร้างของมอสเฟตแบบเอ็นฮานซ์เมนต์ (จาก <http://www.chontech.ac.th>)



รูปที่ 2.12 แสดงสัญลักษณ์มอสเฟตแบบเอ็นฮานซ์เมนต์ (จาก <http://www.chontech.ac.th>)

เมื่อต้องการให้มอสเฟตกำลังนำกระแสอย่างต่อเนื่อง จะต้องมีกรป้อนแรงดันไฟฟ้าระหว่างขาเกต กับขาซอร์ส อย่างต่อเนื่อง ช่วงเวลาของการสวิตซ์ของมอสเฟตกำลังจะมีค่าอยู่ระหว่างหับสิบของนาโนวินาที ถึงหลักร้อยนาโนวินาทีซึ่งขึ้นอยู่กับชนิดและขนาดพิกัดมอสเฟตกำลัง

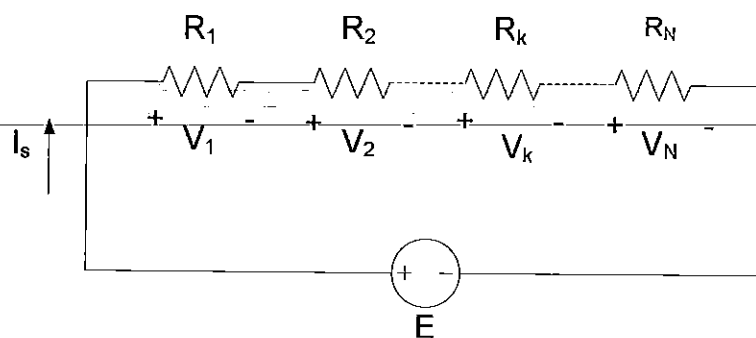
ความต้านทานระหว่างขาเดรนกับขาซอร์ส จะขึ้นอยู่กับการทำงานของแรงดันไฟฟ้าหากทนแรงดันไฟฟ้าได้สูงก็ยิ่งทำให้ค่าความต้านทานระหว่างขาเดรนกับขาซอร์สมีค่ามากขึ้น ซึ่งจะมีผลต่อกำลังสูญเสียจากการนำกระแส (Conduction losses) เช่น มอสเฟตกำลังที่มีค่าพิกัดการทำงานของแรงดัน 1,000 โวลต์ จะมีค่าความต้านทานระหว่างขาเดรนกับขาซอร์สมากกว่ามอสเฟตกำลังที่มีค่าพิกัดการทำงานของแรงดัน 200 โวลต์ ดังนั้นการสูญเสียจากการนำกระแสของเฟตกำลังที่ทนได้ 1,000 โวลต์ จะมีกำลังสูญเสียที่เกิดจากการนำกระแสมากกว่าของมอสเฟตกำลังที่ทนได้ 200 โวลต์

ความต้านทานระหว่างขาเดรนกับขาซอร์สของมอสเฟตกำลัง จะมีค่าสัมประสิทธิ์อุณหภูมิเป็นบวก คือเมื่ออุณหภูมิมากขึ้นความต้านทานก็จะมากขึ้น มอสเฟตกำลังจะสามารถนำมาต่อขนานกันได้ง่ายหากต้องการใช้งานที่ต้องการกระแสไฟฟ้าสูงขึ้น ทั้งนี้มอสเฟตกำลังจะมีคุณสมบัติต่าง ๆ

เหมือนกันมากที่สุดจะสามารถนำมาต่อกันได้

2.6 วงจรแบ่งแรงดัน (Voltage Divider)

โดยทั่วไป วงจรความต้านทานหรือวงจรกระแสตรงอาจจะประกอบด้วยต้นแรงดันและความต้านทานอย่างละหลาย ๆ ตัวต่อเข้าด้วยกันแบบอนุกรมดังแสดงไว้ในรูป 2.10 ซึ่งอาจเรียกการต่อความต้านทานลักษณะนี้ว่า การต่อความต้านทานแบบอนุกรม



รูปที่ 2.13 วงจรความต้านทานซึ่งต่อกันแบบอนุกรม

รูปที่ 2.10 แสดงถึงการกำหนดทิศทางให้กับกระแส I_s และแรงดัน $V_1, V_2, \dots, V_k, \dots, V_N$ ซึ่งไม่รู้ค่า ตกรวมตัวความต้านทาน $R_1, R_2, \dots, R_k, \dots, R_N$ ที่รู้ค่า จำนวน N ตัว ตามลำดับ

จากกฎของโอห์ม สามารถเขียนเป็นสมการของวงจรชุดแรกจากความสัมพันธ์ระหว่างกระแสและแรงดันตกรวมตัวความต้านทานแต่ละตัวของวงจรในรูปที่ 2.7 ได้ว่า

$$\begin{aligned} V_1 &= I_s R_1 \\ V_2 &= I_s R_2 \\ &\vdots \\ &\vdots \\ &\vdots \\ V_k &= I_s R_k \\ &\vdots \\ &\vdots \\ &\vdots \\ V_N &= I_s R_N \end{aligned} \tag{2.1}$$

ต่อจากนั้น พิจารณาวงปิดของวงจรในรูปที่ 2.10 โดยการใช้อุปกรณ์แรงดันของเคอร์ชอฟฟ์ (KVL) สามารถเขียนเป็นสมการได้ดังนี้

$$E = V_1 + V_2 + \dots + V_k + \dots + V_N \tag{2.2}$$

เมื่อแทนค่าแรงดันจากสมการ (2.1) ลงในสมการ (2.2) จะได้

$$\begin{aligned} E &= I_s R_1 + I_s R_2 + \dots + I_k R_k + \dots + I_s R_N \\ &= I_s (R_1 + R_2 + \dots + R_k + \dots + R_N) \end{aligned} \tag{2.3}$$

$$= I_s R_s$$

โดยที่ R_s คือความต้านทานรวมแบบอนุกรม (Series Resultant Resistance) ของวงจรไฟฟ้าที่ต่อความต้านทานเข้าด้วยกันแบบอนุกรม ดังนั้น ถ้ามีตัวต้านทานจำนวน N ตัวมาต่อเข้าด้วยกันแบบอนุกรมดังที่แสดงไว้ในรูป 2.10 สามารถหาค่าของความต้านทานรวม R_s ได้เป็นผลรวมของค่าของความต้านทานทุกตัวซึ่งเขียนเป็นสมการได้ว่า

$$R_s = \sum_{k=1}^N R_k \quad (2.4)$$

จากสมการ (2.3) ยังสามารถอธิบายถึงความสัมพันธ์ของต้นแรงดัน E ที่ตกคร่อมความต้านทานรวมแบบอนุกรม R_s ในรูปแบบกระแสไฟฟ้า I_s ที่ไหลผ่านตัวต้านทานแต่ละตัว ได้ดังนี้

$$I_s = \frac{E}{R_s} \quad (2.5)$$

ซึ่งสามารถเขียนความสัมพันธ์ในสมการ (2.5) เป็นวงจรความต้านทานอย่างง่าย ดังแสดงไว้ในรูปที่ 2.11



รูปที่ 2.14 วงจรความต้านทานอย่างง่ายของวงจรความต้านทานแบบอนุกรม

เมื่อนำค่ากระแส I_s จากสมการ (2.5) แทนลงในสมการ (2.1) สามารถเขียนสมการแรงดันที่ตกคร่อมความต้านทานแต่ละตัว ได้เป็น

$$V_1 = \left(\frac{R_1}{R_s}\right)E$$

$$V_2 = \left(\frac{R_2}{R_s}\right)E$$

∴ ∴ ∴

$$V_k = \left(\frac{R_k}{R_s}\right)E$$

∴ ∴ ∴

$$V_N = \left(\frac{R_N}{R_s}\right)E$$

จะพบว่า แรงดัน E ถูกแบ่งออกเป็นแรงดันที่ตกคร่อมความต้านทาน V_k สำหรับ

$k = 1, 2, 3, \dots, N$ ซึ่งมีอัตราส่วน $\frac{V_i}{V_k} = \frac{R_i}{R_k}$ เมื่อ $i = \{1, 2, 3, \dots, N\}$ และ $i \neq k$ จึงมีการเรียกวงจร

ความต้านทานแบบอนุกรมนี้อีกอย่างหนึ่งว่าเป็น วงจรแบ่งแรงดัน (Voltage Divider)



บทที่ 3

การออกแบบและการสร้างเครื่อง Diversion Load Controller

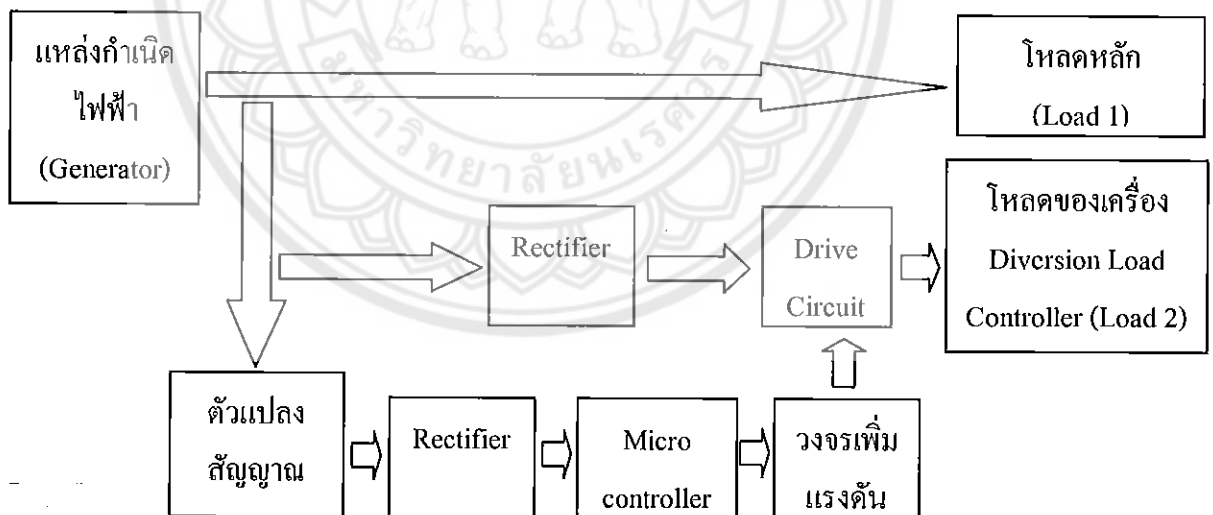
การสร้างเครื่อง Diversion Load Controller สำหรับการควบคุมกำลังไฟฟ้าของโหลดให้ได้เท่ากับแหล่งกำเนิดไฟฟ้า (Generator) เมื่อมีการเปลี่ยนแปลงของโหลด มีวิธีการดำเนินงาน 4 ส่วนหลัก ๆ ดังนี้ คือ การศึกษาการทำงาน การออกแบบวงจรและชุดควบคุม การสร้างชิ้นงาน การทดสอบชิ้นงาน

3.1 การศึกษาการทำงาน

การศึกษางานแบ่งออกเป็น 3 ส่วนที่สำคัญ คือ การศึกษาหลักการควบคุมกำลังไฟฟ้าด้วยการเปลี่ยนแปลงแรงดันไฟฟ้า การศึกษาหลักการทำงานของไมโครคอนโทรลเลอร์ และการศึกษาการเขียนโปรแกรมด้วยภาษา PIC BASIC PRO

3.2 การออกแบบวงจรและชุดควบคุม

3.2.1 บล็อกไดอะแกรมการทำงาน



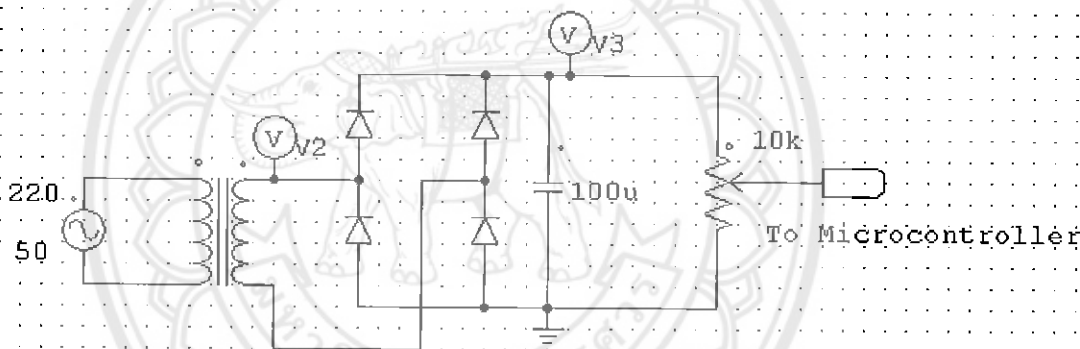
รูปที่ 3.1 บล็อกไดอะแกรมการทำงาน

จากรูปแสดงวงจรต่าง ๆ ในการสร้างเครื่อง Diversion Load Controller โดยนำไฟจากแหล่งกำเนิดไฟฟ้า (Generator) เข้าตัวแปลงสัญญาณลดระดับแรงดันไฟฟ้าลงแล้วเข้าวงจรเรกติ

ไฟล์เข้าไมโครคอนโทรลเลอร์แล้วเข้าวงจรเพิ่มแรงดันเพื่อส่งไปทรานซิสเตอร์ที่วงจรขับโหลดของเครื่อง
Diversion Load Controller

3.2.2 ตัวแปลงสัญญาณและเรกติไฟเลอร์ (Rectifier)

ประกอบด้วยหม้อแปลงไฟฟ้าเพื่อลดระดับแรงดันไฟฟ้าจาก 220 V ลงมาเหลือ 6 V แล้ว
เข้าวงจรเรกติไฟเลอร์ (Rectifier) เพื่อให้เป็นแรงดันไฟฟ้ากระแสตรงและใช้ตัวต้านทานแบบปรับค่า
แบ่งแรงดันลงมาเพื่อให้เหลือ 3 V เพื่อที่จะนำเข้าไป A/D Converter ได้ ในการปรับระดับสัญญาณเพื่อ
เข้า A/D Converter โดยแรงดันคิซีที่ป้อนเข้าไปนี้จะต้องคำนึงถึงว่าเมื่อแรงดันเข้าไปแล้วจะต้องไม่
ทำให้ค่าสูงสุดของสัญญาณที่รับเข้ามานั้นเกินกว่าค่าแรงดันอ้างอิงของ A/D Converter และจะต้อง
ไม่น้อยเกินไปที่จะทำให้ค่าต่ำสุดของสัญญาณที่รับเข้ามานั้นต่ำกว่าค่าแรงดันอ้างอิงด้านต่ำของ
A/D Converter



รูปที่ 3.2 วงจรแปลงและลดระดับสัญญาณแรงดัน

3.2.3 การวิเคราะห์ห้วงจรด้วยโปรแกรม PSIM (Power Simulation)

โปรแกรม PSIM เป็นโปรแกรมสำหรับการวิเคราะห์ห้วงจรไฟฟ้าซึ่งจะเป็นการทดลองผล
ทางคอมพิวเตอร์ก่อนทำการทดลองในวงจรจริง เพื่อจะได้นำผลที่ได้จากโปรแกรมไปเปรียบเทียบกับ
กับวงจรที่สร้างขึ้นจริงซึ่งจะทำให้ได้ผลที่ถูกต้องแม่นยำมากยิ่งขึ้น

วาดวงจรลงในโปรแกรม โดยเลือกอุปกรณ์ที่มีอยู่ในชุดสำเร็จ (Elements) ของโปรแกรม
ซึ่งจะได้ดังรูปที่ 3.1

3.2.4 วงจร A/D Converter

เป็นวงจรที่เปลี่ยนสัญญาณอนาล็อกเป็นสัญญาณดิจิทัล โดยจะต้องใช้ A/D Converter
10 บิต คือ จะมีความละเอียดในการแปลงสัญญาณได้ 1024 ระดับ

3.2.5 การออกแบบการทำงานของไมโครคอนโทรลเลอร์ PIC16F877

ในการออกแบบการทำงานของไมโครคอนโทรลเลอร์สำหรับเครื่อง Diversion Load Controller ประกอบด้วย

วงจรการทำงานพื้นฐานดังแสดงไว้ในรูปที่ 3.1 ทำหน้าที่แปลงสัญญาณไฟฟ้าจากไฟฟ้ากระแสสลับให้เป็นไฟฟ้ากระแสตรงและลดระดับมาให้ไม่เกิน 5 V เพื่อส่งสัญญาณเข้าไมโครคอนโทรลเลอร์ PIC16F877 จากนั้นไมโครคอนโทรลเลอร์จะเปลี่ยนสัญญาณอนาล็อกเป็นสัญญาณดิจิทัล โดยหาได้จาก

$$\frac{\text{ค่าสัญญาณดิจิทัลสูงสุด}}{\text{แรงดันไฟฟ้ากระแสตรงสูงสุด}} \times \text{แรงดันไฟฟ้ากระแสตรงที่เข้ามา}$$

และการสร้างสัญญาณพัลส์ที่ทุก ๆ 10 % ของ Duty Cycle พิจารณาได้จาก

$$\frac{\text{ค่าสัญญาณดิจิทัลสูงสุด} - \text{ค่าสัญญาณดิจิทัลต่ำสุดที่ใช้ในการประมวลผล}}{\text{จำนวนช่วง Duty Cycle ที่ต้องการ}}$$

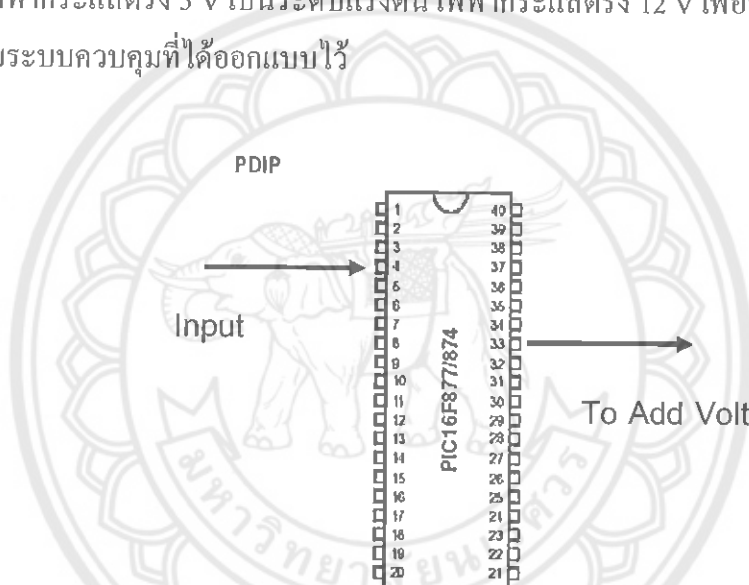
ตารางที่ 3.1 เปรียบเทียบอนาล็อกทุกดิจิทัล

| แรงดันไฟฟ้าที่ออกจากแหล่งจ่าย (V) | ADC | Duty Cycle (%) |
|-----------------------------------|--------------|----------------|
| 200 | น้อยกว่า 615 | 0 |
| 213 | 656 | 10 |
| 226 | 697 | 20 |
| 240 | 738 | 30 |
| 253 | 779 | 40 |
| 266 | 820 | 50 |
| 280 | 861 | 60 |
| 293 | 902 | 70 |
| 306 | 943 | 80 |
| 320 | 984 | 90 |
| 332 | 1023 | 100 |

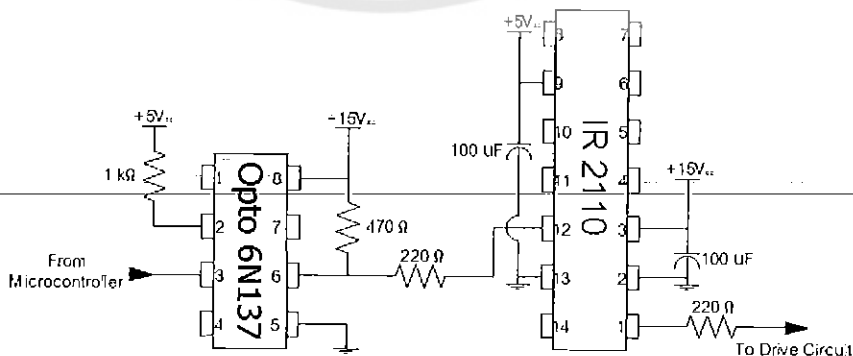
ตาราง ADC เปรียบเทียบกับแรงดันอินพุต (V) ใช้ในการเปรียบเทียบกับนาฬิกาดิจิตอล เพื่อนำสัดส่วนในตารางนี้ไปเขียน โปรแกรมเพื่อสร้างสัญญาณจุดชนวนมอสเฟต

วงจรที่จะนำมาใช้ในการขับให้มอสเฟต (MOSFETs) ทำงาน ซึ่งจากการออกแบบเราได้ทำการแยกวงจรออกเป็น 2 ระบบ คือ ระบบทางด้านแรงดันสูงกับระบบทางด้านแรงดันต่ำออกจากกัน เพื่อป้องกันไม่ให้เกิดการลัดวงจรของวงจรทางด้านแรงดันสูง ซึ่งจะทำให้ระบบควบคุมหรือไมโครคอนโทรลเลอร์และอุปกรณ์ต่อพ่วงเกิดการเสียหายได้ ด้วยใช้ออปโต เบอร์ 6N137 แล้วส่งสัญญาณควบคุมจากออปโต ไปยังวงจรขยายสัญญาณ

ในส่วนวงจรขยายสัญญาณ ดังแสดงไว้ในรูปที่ 3.3 ทำหน้าที่ขยายสัญญาณควบคุมระดับแรงดัน ไฟฟ้ากระแสตรง 5 V เป็นระดับแรงดันไฟฟ้ากระแสตรง 12 V เพื่อนำไปขับมอสเฟตให้ทำงานตามระบบควบคุมที่ได้ออกแบบไว้



รูปที่ 3.3 ไมโครคอนโทรลเลอร์ PIC16F877 (จาก <http://www.etteam.com>)

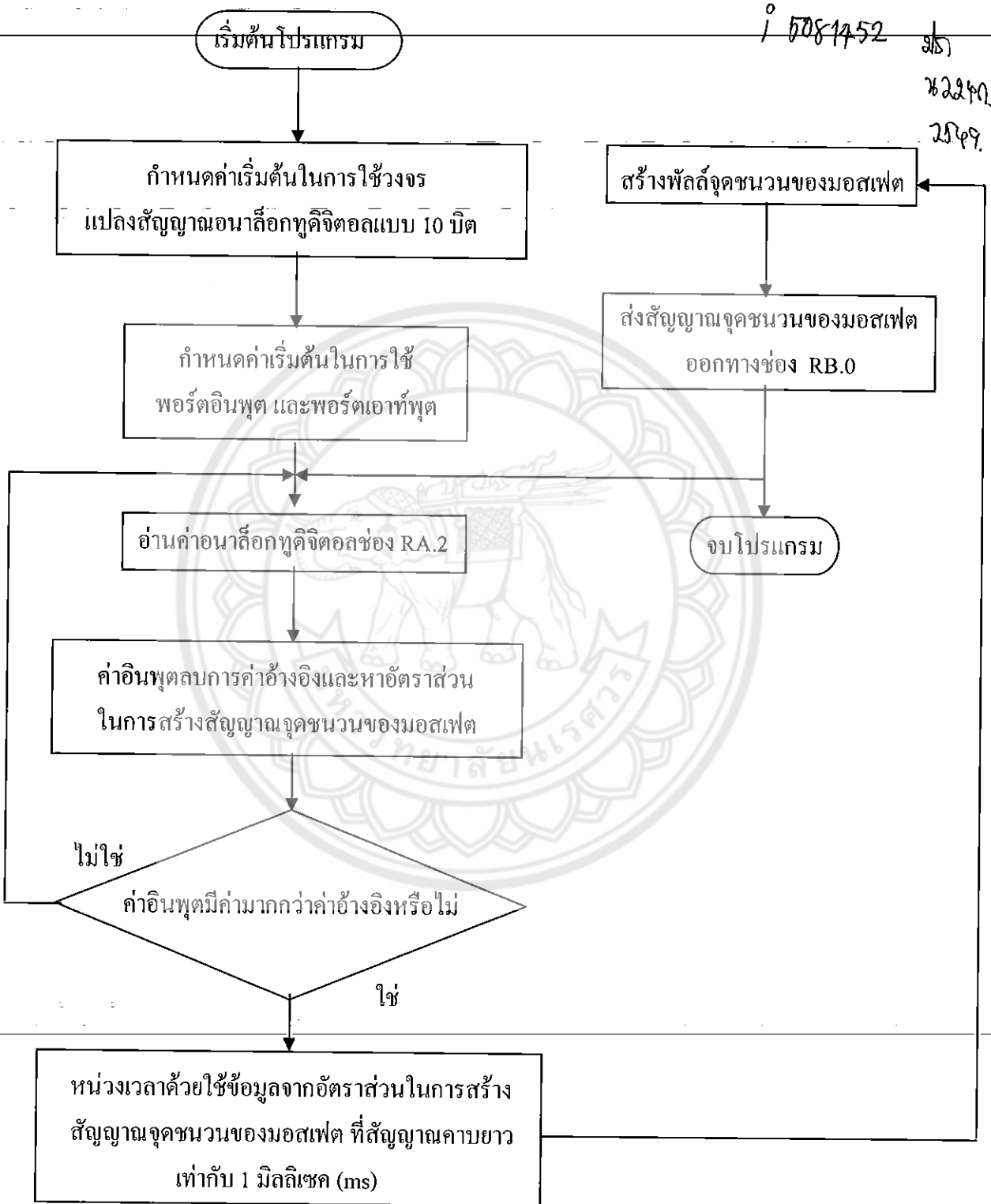


รูปที่ 3.4 วงจรขยายสัญญาณควบคุม

3.2.6 Flowchart

แสดงการทำงานของโปรแกรมการสร้างสัญญาณจุดชนวนมอสเฟต

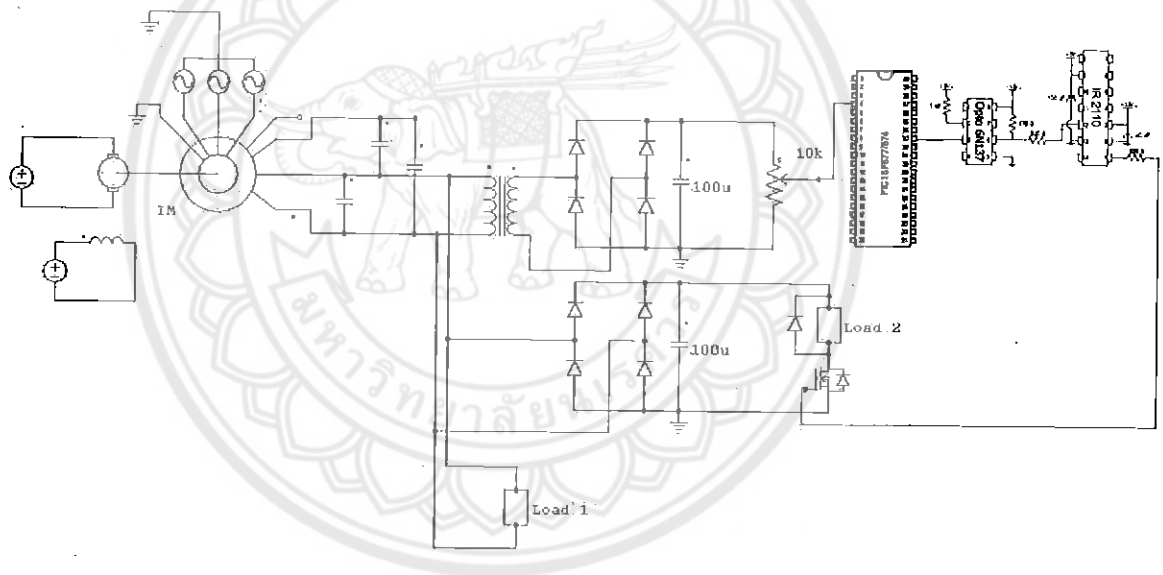
5000101



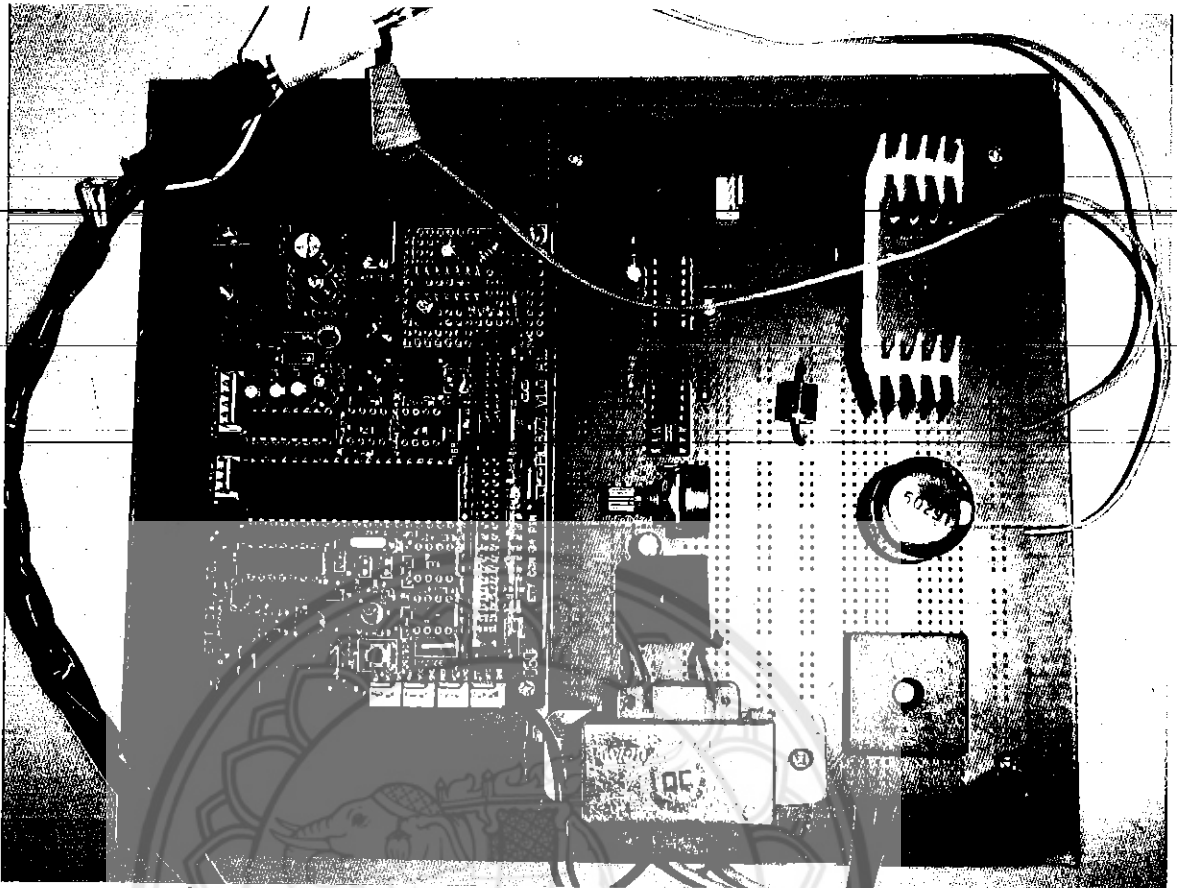
รูปที่ 3.5 บล็อกไดอะแกรมแสดงการทำงานของโปรแกรมการสร้างสัญญาณจุดชนวนมอสเฟต

โปรแกรมนี้จะทำหน้าที่กำเนิดสัญญาณจุดชนวนเกิดของมอสเฟตในวงจรขับ โดยไมโครคอนโทรลเลอร์จะทำการแปลงสัญญาณจากแหล่งกำเนิดไฟฟ้าที่ถูกตัวต้านทานแบบปรับค่าลดลงมา (ไม่เกิน 5 V) ซึ่งทำให้เกิดสัญญาณจุดชนวนมอสเฟตด้วยสัญญาณที่เข้ามาวงจรแปลงสัญญาณอนาล็อกทุกดิจิตอลช่อง RA.2 (ADC) ของไมโครคอนโทรลเลอร์ PIC16F877 จากนั้นค่าสัญญาณที่ถูกแปลงเป็นดิจิตอลจะถูกเปรียบเทียบกับค่าแรงดันอ้างอิง (200 V, 3 V ที่เข้าไมโครคอนโทรลเลอร์ หรือ 615 ที่แปลงเป็นสัญญาณดิจิตอล) แล้วถ้าสัญญาณนั้นมีความมากกว่าค่าแรงดันอ้างอิง ไมโครคอนโทรลเลอร์จะทำการประมวลผลหาอัตราส่วนในการสร้างสัญญาณจุดชนวนของมอสเฟตดังตารางเปรียบเทียบ ADC โดยสัญญาณจุดชนวนของมอสเฟตจะมีการหน่วงเวลาที่ 1 ms และส่งสัญญาณจุดชนวนของมอสเฟตออกทางช่อง RB.0 เพื่อไปเข้าในส่วนขยายสัญญาณต่อไป

3.3 การสร้างชิ้นงาน



รูปที่ 3.6 แสดงวงจรของเครื่อง Diversion Load Controller



รูปที่ 3.7 แสดงเครื่อง Diversion Load Controller ที่ประกอบเสร็จสมบูรณ์

3.4 การทดสอบชิ้นงาน

การทดสอบชิ้นงานเป็นการทดสอบการทำงานของเครื่อง Diversion Load Controller ซึ่งแบ่งการทดสอบออกเป็น 3 กรณี คือ การทดสอบสัญญาณควบคุม, ทดสอบกับอินดักชันแมชชีน (Induction Machines) โดยไม่ได้ทำการต่อเครื่อง Diversion Load Controller และทดสอบกับอินดักชันแมชชีน (Induction Machines) โดยต่อเครื่อง Diversion Load Controller

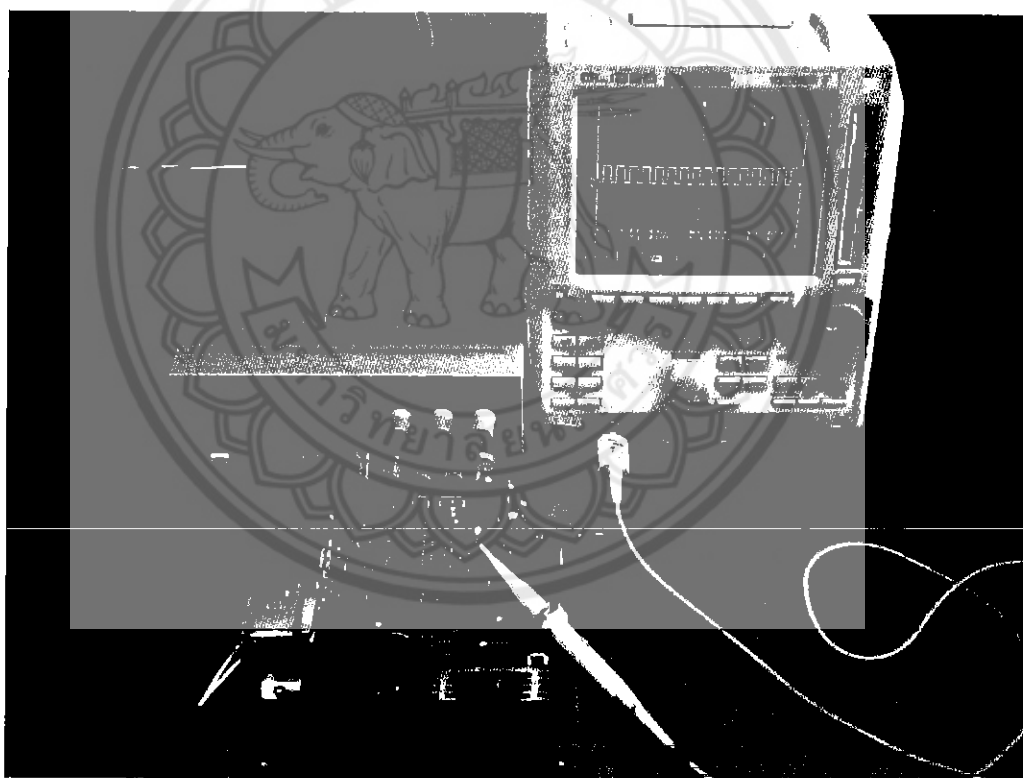
บทที่ 4

วิธีการทดสอบและผลการทดสอบ

ในบทนี้ จะกล่าวถึงวิธีการทดสอบและผลการทดสอบของเครื่อง Diversion Load Controller ซึ่งแบ่งการทดสอบออกเป็น 3 กรณี คือ การทดสอบสัญญาณควบคุม, ทดสอบกับอินดักชันแมชชีน (Induction Machines) โดยไม่ได้ทำการต่อเครื่อง Diversion Load Controller และ การทดสอบกับอินดักชันแมชชีน (Induction Machines)

4.1 การทดสอบสัญญาณควบคุม

เพื่อตรวจสอบความถูกต้องการทำงานของไมโครคอนโทรลเลอร์ ดังแสดงไว้ในรูปที่ 4.1

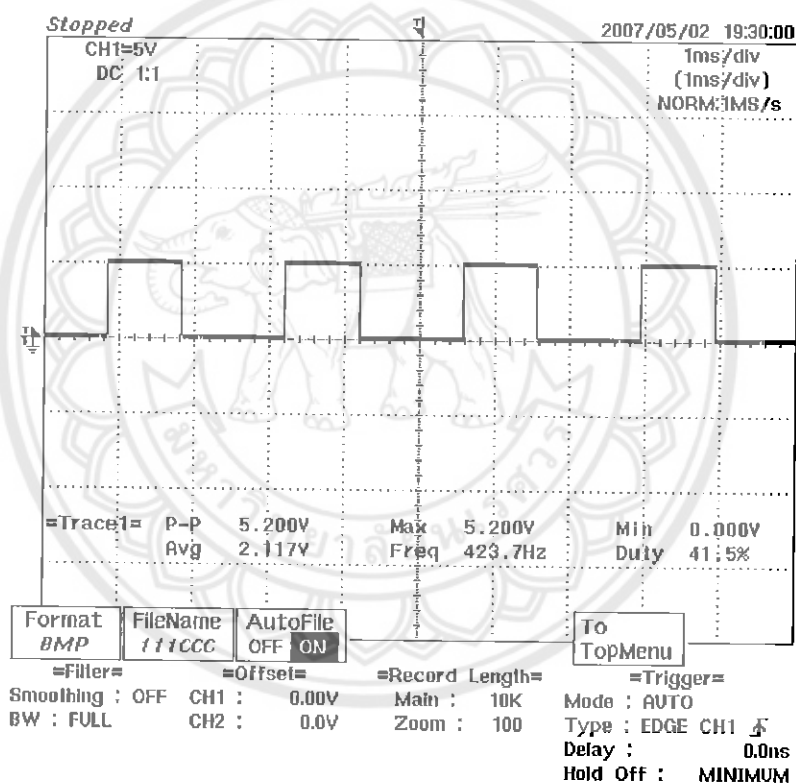


รูปที่ 4.1 แสดงการทดสอบสัญญาณควบคุม

การทดสอบสัญญาณควบคุม เริ่มต้นโดยการนำ DC Supply จ่ายแรงดันไฟฟ้าเข้าทางขา RA.2 ของไมโครคอนโทรลเลอร์ที่ระดับแรงดันต่าง ๆ และใช้เครื่อง Yokogawa ตรวจสอบสัญญาณพัลส์จากขา RB.0 และนำไปเปรียบเทียบกับตารางที่ 3.1

ตารางที่ 4.1 แสดงผลการทดสอบสัญญาณควบคุม

| แรงดันไฟฟ้าอินพุต (V) | Duty Cycle (%) |
|-----------------------|----------------|
| 2.91 | 0 |
| 3.00 | 10 |
| 3.24 | 20 |
| 3.46 | 30 |
| 3.68 | 40 |
| 3.92 | 50 |
| 4.00 | 100 |



รูปที่ 4.2 แสดงตัวอย่างสัญญาณควบคุมที่แรงดันไฟฟ้า 3.68 V

ผลการทดสอบสัญญาณควบคุม ดังแสดงในตารางที่ 4.1 และรูปที่ 4.2 พบว่า ที่แรงดันไฟฟ้า น้อยกว่า 2.91 V หรือเปรียบเทียบ คือ แรงดันไฟฟ้าน้อยกว่า 200 V จะไม่สร้างสัญญาณควบคุม เมื่อแรงดัน ไฟฟ้า 3.00 V หรือแรงดัน ไฟฟ้า 213 V จะสร้างสัญญาณควบคุมที่ 10 Duty Cycle, แรงดันไฟฟ้า 3.24 V หรือแรงดันไฟฟ้า 226 V จะสร้างสัญญาณที่ 20 Duty Cycle, แรงดันไฟฟ้า 3.46 V หรือแรงดันไฟฟ้า 240 V จะสร้างสัญญาณที่ 30 Duty Cycle, แรงดันไฟฟ้า 3.68 V หรือแรงดันไฟฟ้า 253 V จะสร้างสัญญาณที่ 40 Duty Cycle, แรงดันไฟฟ้า 3.92 V หรือ

แรงดันไฟฟ้า 266 V จะสร้างสัญญาณที่ 50 Duty Cycle และเมื่อแรงดันไฟฟ้ามากกว่า 4 V จะสร้างสัญญาณควบคุมที่ 100 Duty Cycle

4.2 การทดสอบกับอินดักชันแมชชีนโดยไม่ได้ทำการต่อเครื่อง Diversion Load

Controller

เป็นการทดสอบระดับแรงดันไฟฟ้าของแหล่งกำเนิดไฟฟ้า ที่ต่อกับโหลดหลัก (หลอดไฟยี่ห้อ Phillips ขนาด 100, 60, 40 W และไม่มีโหลด) โดยไม่ได้ทำการต่อเครื่อง Diversion Load Controller



รูปที่ 4.3 แสดงการทดสอบกับอินดักชันแมชชีน โดยไม่ได้ทำการต่อเครื่อง Diversion Load

Controller

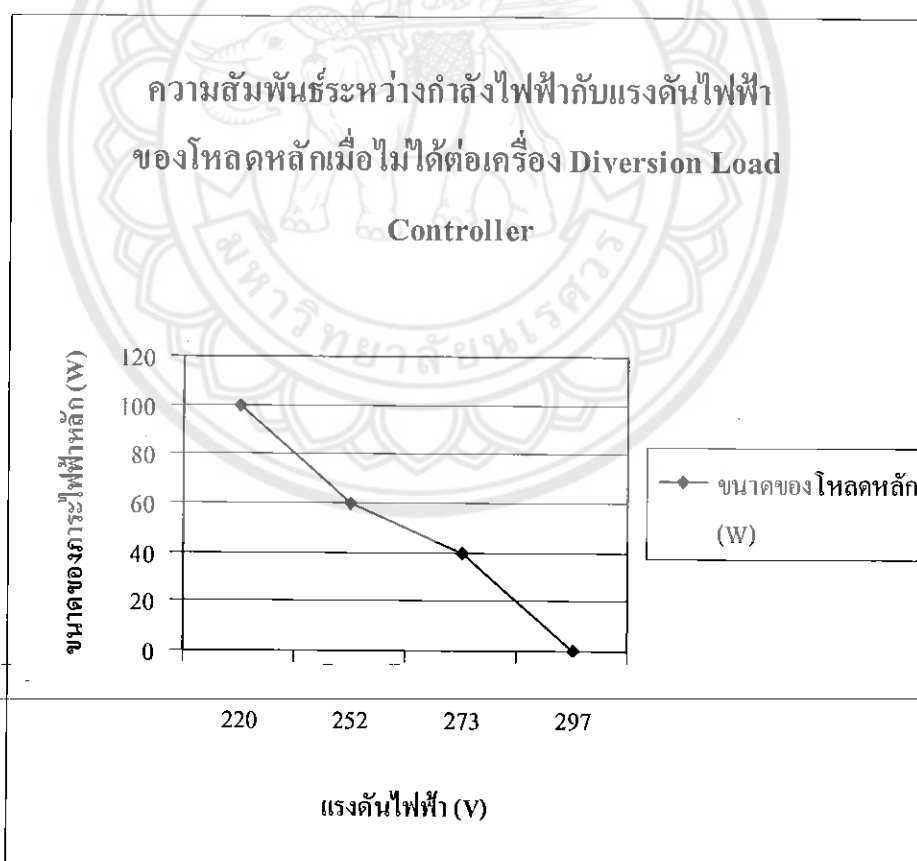
การทดสอบกับเครื่องอินดักชันแมชชีน (Induction Machines) โดยไม่ได้ทำการต่อเครื่อง Diversion Load Controller ผู้วิจัยได้กำหนดให้โหลดที่ 100 W คือ โหลดเต็มที่ (Full Load) เริ่มต้นโดยทำอินดักชันแมชชีนให้จ่ายแรงดันไฟฟ้ากระแสสลับให้กับโหลดหลัก (หลอดไฟขนาด 100 W) ที่ 220 V แล้วเก็บข้อมูลของโหลด โดยการวัดแรงดันไฟฟ้าตกคร่อมหลอดไฟ จากนั้นทำซ้ำเหมือน

โหลดหลัก (โหลดไฟขนาด 100 W) โดยเปลี่ยนโหลดหลักจากโหลดไฟขนาด 100 W เป็น 60, 40 W และไม่มีโหลด ตามลำดับ จากการทดสอบดังกล่าวจะได้ผลของระดับแรงดันที่กำลังไฟฟ้าเป็นดังตารางที่ 4.2

ตารางที่ 4.2 แสดงผลการทดสอบกับอินดักชันแมชชีน โดยไม่ได้ทำการต่อเครื่อง Diversion Load

Controller

| ขนาดของโหลดหลัก (W) | แรงดันไฟฟ้า (V) |
|---------------------|-----------------|
| 100 | 220 |
| 60 | 252 |
| 40 | 273 |
| ไม่มี | 297 |



รูปที่ 4.4 กราฟแสดงความสัมพันธ์ระหว่างกำลังไฟฟ้ากับแรงดันไฟฟ้าของโหลดหลักเมื่อไม่ได้ต่อเครื่อง Diversion Load Controller

จากการทดสอบพบว่า เมื่อแหล่งกำเนิดไฟฟ้าจ่ายกำลังไฟฟ้าและแรงดันมาที่ 100 W 220 V พบว่า เมื่อโหลดหลักมีขนาดลดลงจะส่งผลให้แรงดันไฟฟ้าที่ตกคร่อมโหลดหลักมีค่าสูงขึ้นซึ่งจากตารางที่ 4.2 ที่โหลดหลักขนาด 60 W ระดับแรงดันที่ตกคร่อมโหลดหลักเป็น 252 V ที่โหลดหลักขนาด 40 W ระดับแรงดันที่ตกคร่อมโหลดหลักเป็น 273 V และที่ไม่มีโหลดแรงดันที่จ่ายออกมาจากแหล่งกำเนิดไฟฟ้าเป็น 297 V ซึ่งระดับแรงดันจะมีค่าสูงขึ้นส่งผลให้โหลดหลักเกิดความเสียหายได้

4.3 การทดสอบกับอินดักชันแมชชีนโดยต่อเครื่อง Diversion Load Controller

เพื่อตรวจสอบความถูกต้องการทำงานของเครื่อง Diversion Load Controller โดยมีโหลดหลัก (หลอดไฟยี่ห้อ Phillips ขนาด 100, 60, 40 W และไม่มีโหลด) กับโหลด (หลอดไฟยี่ห้อ Phillips ขนาด 100 W) ของเครื่อง Diversion Load Controller



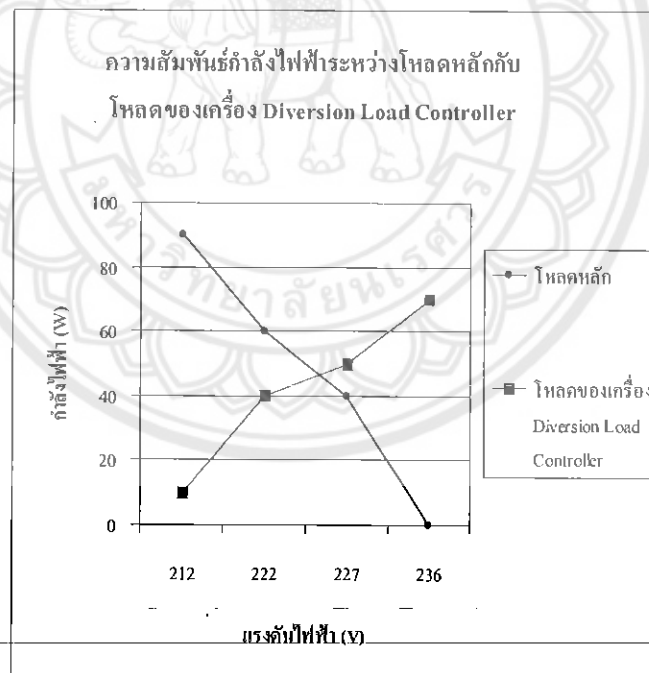
รูปที่ 4.5 แสดงการทดสอบกับอินดักชันแมชชีน (Induction Machines)

การทดสอบกับเครื่องอินดักชันแมชชีน (Induction Machines) โดยต่อเครื่อง Diversion Load Controller ผู้วิจัยได้กำหนดให้โหลดที่ 100 W คือ โหลดเต็มที่ (Full Load) เริ่มต้นโดยทำอินดักชันแมชชีนให้จ่ายแรงดันไฟฟ้ากระแสสลับให้กับโหลดหลัก (หลอดไฟขนาด 100 W) ที่ 220 V แล้วสังเกตความสว่างของโหลดของเครื่อง Diversion Load Controller (หลอดไฟขนาด 100 W)

และเก็บข้อมูลของโหลดทั้งสองโดยการวัดแรงดันไฟฟ้าที่ตกคร่อมโหลดไฟ, กำลังไฟฟ้าจากวัตต์มิเตอร์และใช้เครื่อง Yakogawa ตรวจสอบสัญญาณแรงดันไฟฟ้าที่ตกคร่อมโหลดไฟ จากนั้นทำซ้ำเหมือนโหลดหลัก (โหลดไฟขนาด 100 W) โดยเปลี่ยนโหลดหลักจากโหลดไฟขนาด 100 W เป็น 60, 40 W และไม่มีโหลด ตามลำดับ โดยได้ผลการทดสอบดังเป็นตารางที่ 4.2

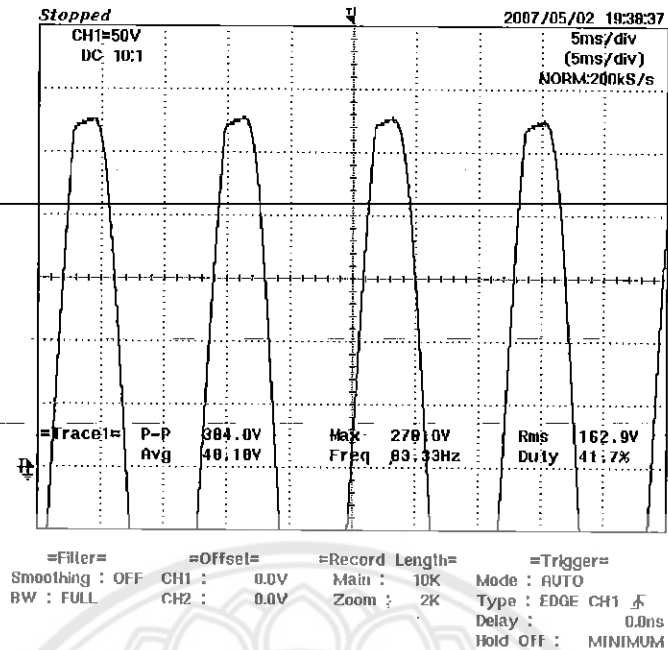
ตารางที่ 4.3 แสดงผลการทดสอบกับอินดักชันแมชชีน (Induction Machines)

| โหลดหลัก | | | โหลดของเครื่อง Diversion Load Controller | | |
|------------|----------------|-----------------|--|----------------|-----------------|
| โหลดไฟ (W) | กำลังไฟฟ้า (W) | แรงดันไฟฟ้า (V) | โหลดไฟ (W) | กำลังไฟฟ้า (W) | แรงดันไฟฟ้า (V) |
| 100 | 90 | 212 | 100 | 10 | 12 |
| 60 | 60 | 222 | 100 | 40 | 48 |
| 40 | 40 | 227 | 100 | 50 | 69 |
| ไม่มี | 0 | 236 | 100 | 70 | 130 |

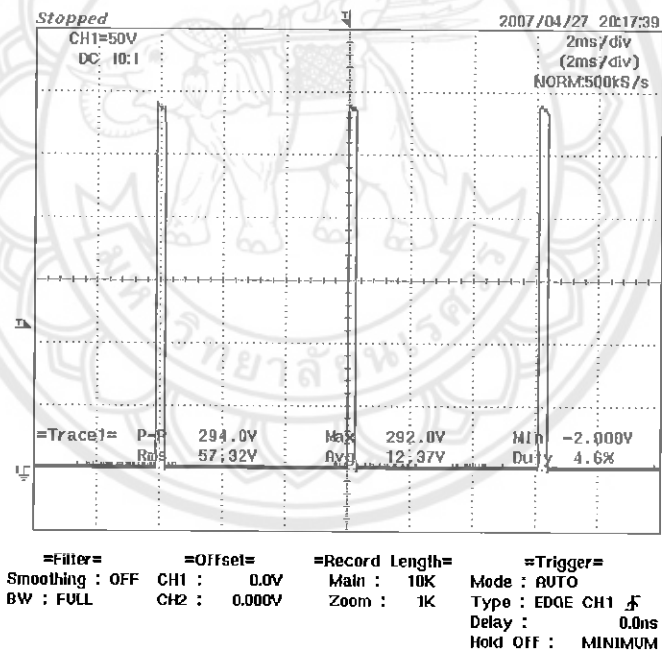


รูปที่ 4.6 กราฟแสดงความสัมพันธ์กำลังไฟระหว่างโหลดหลักกับโหลดของเครื่อง Diversion Load Controller

จากกราฟพบว่า เมื่อแรงดันไฟฟ้าที่ตกคร่อมโหลดหลักเพิ่มขึ้นและกำลังไฟฟ้าน้อยลง จะทำให้โหลดของเครื่อง Diversion Load Controller มีแรงดันไฟฟ้าและกำลังไฟฟ้าเพิ่มขึ้น เพื่อที่จะรวมกันให้เท่าหรือใกล้เคียงกับกำลังไฟฟ้าที่ 100 W



(ก)

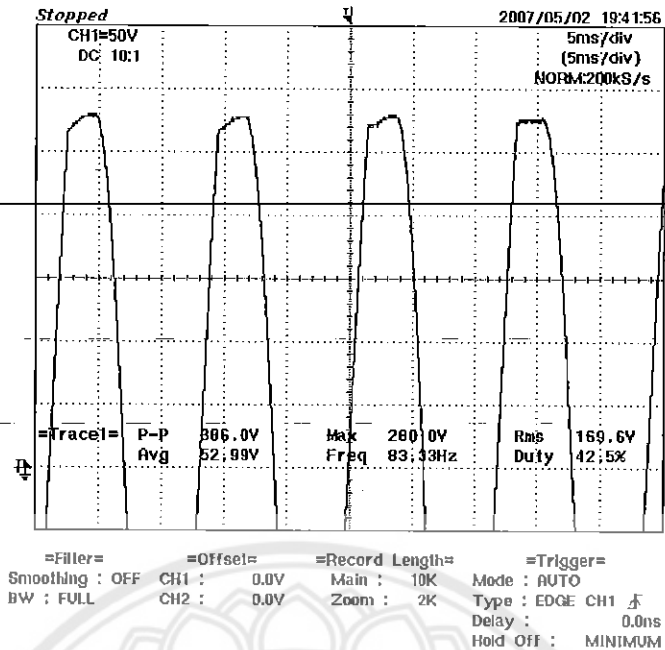


(ข)

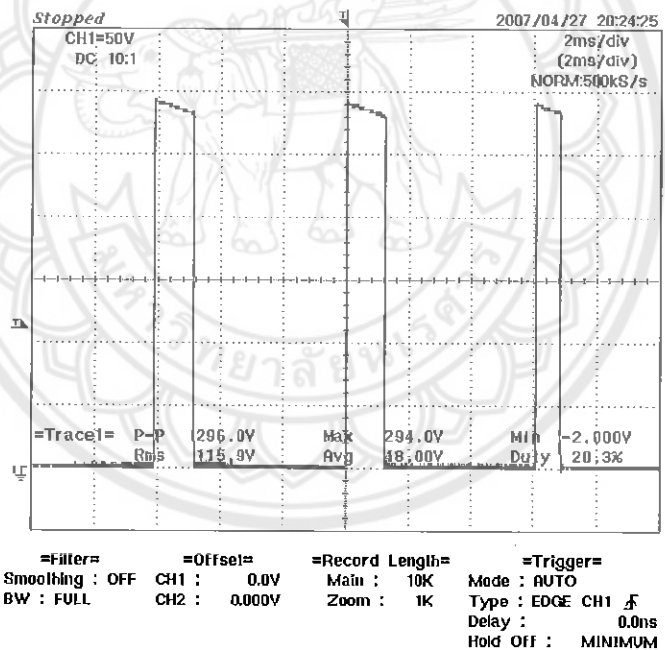
รูปที่ 4.7 (ก) แสดงสัญญาณของโหลดหลัก (โหลดไฟขนาด 100 W)

(ข) โหลดของเครื่อง Diversion Load Controller

จากรูปพบว่า เมื่อโหลดหลักขนาด 100 W ได้แรงดันไฟฟ้าที่ตกคร่อม 212 V ทำให้เครื่อง Diversion Load Controller สัญญาณควบคุมที่ประมาณ 5 % Duty Cycle เพื่อให้มีการทำงานที่ โหลดของเครื่อง Diversion Load Controller ซึ่งได้แรงดันไฟฟ้าตกคร่อมที่ 12 V



(ก)

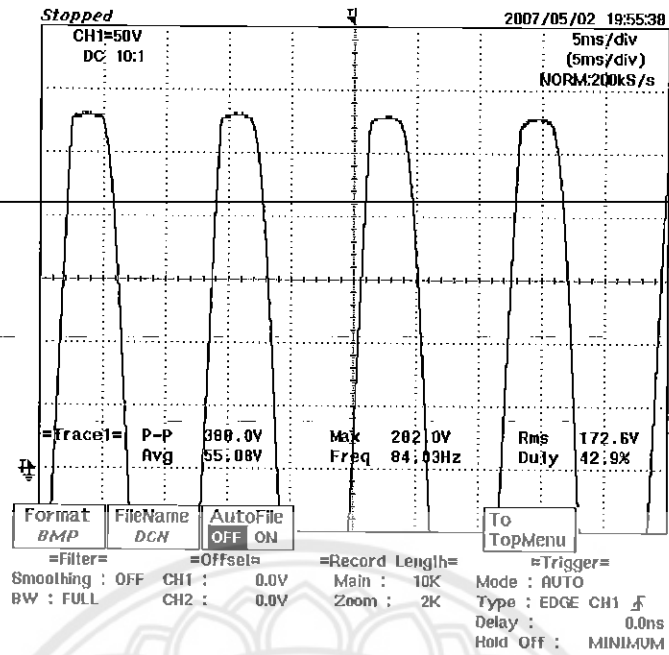


(ข)

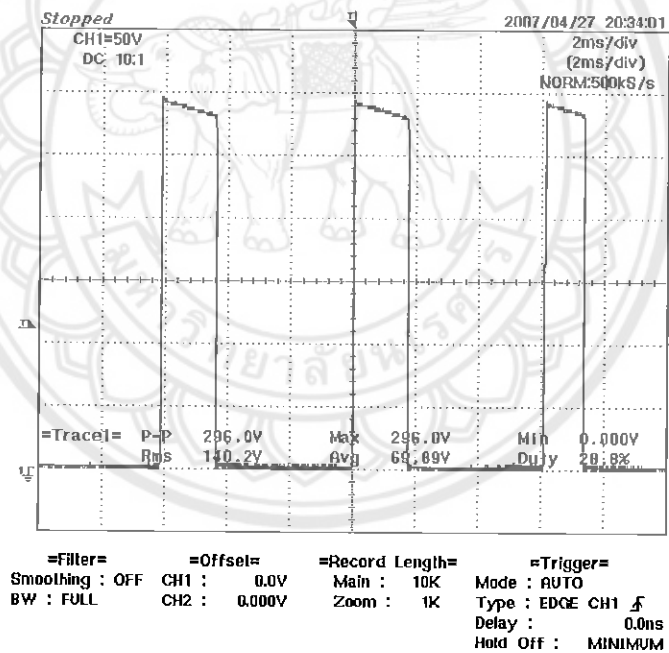
รูปที่ 4.8 (ก) แสดงสัญญาณของ โหลดหลัก (โหลดไฟขนาด 60 W)

(ข) โหลดของ เครื่อง Diversion Load Controller

จากรูปพบว่า เมื่อโหลดหลักขนาด 60 W ได้แรงดันไฟฟ้าที่ตกคร่อม 222 V ทำให้เครื่อง Diversion Load Controller สัญญาณควบคุมที่ประมาณ 20 % Duty Cycle เพื่อให้มีการทำงานที่ โหลดของเครื่อง Diversion Load Controller ซึ่งได้แรงดันไฟฟ้าตกคร่อมที่ 48 V



(ก)

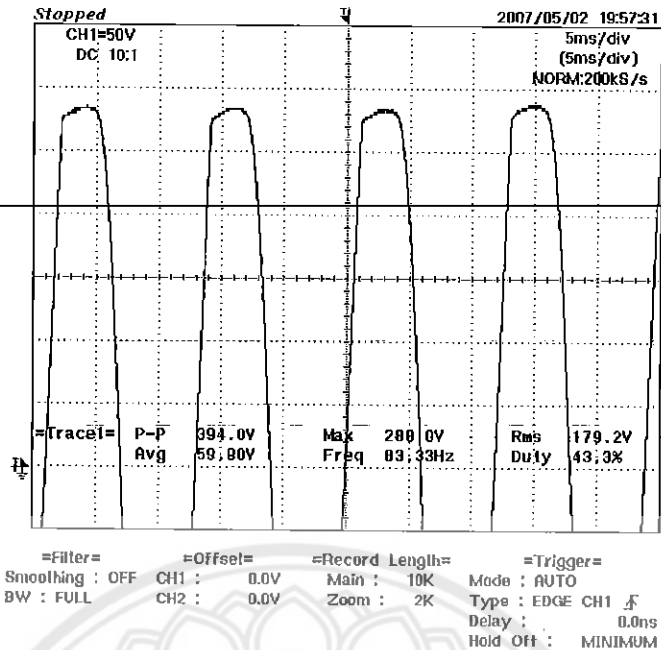


(ข)

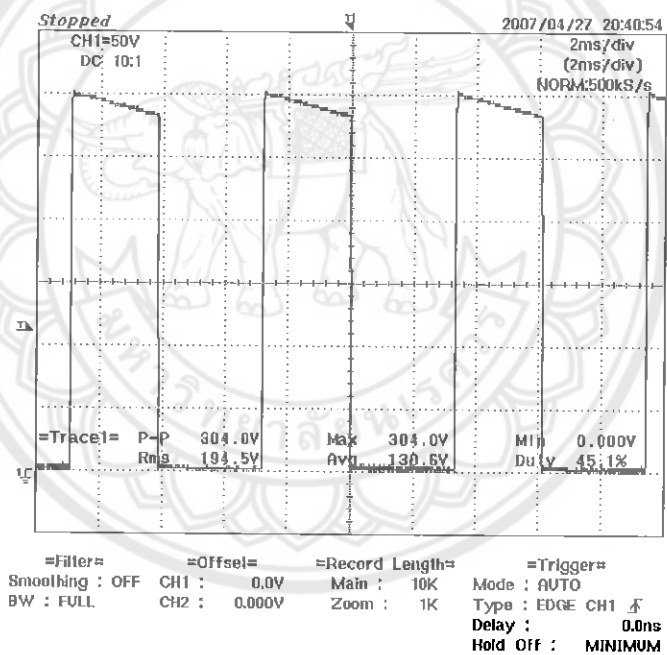
รูปที่ 4.9 (ก) แสดงสัญญาณของโหลดหลัก (โหลดไฟขนาด 40 W)

(ข) โหลดของเครื่อง Diversion Load Controller

จากรูปพบว่า เมื่อโหลดหลักขนาด 40 W ได้แรงดันไฟฟ้าที่ตกคร่อม 227 V ทำให้เครื่อง Diversion Load Controller สัญญาณควบคุมที่ประมาณ 30 % Duty Cycle เพื่อให้มีการทำงานที่ โหลดของเครื่อง Diversion Load Controller ซึ่งได้แรงดันไฟฟ้าตกคร่อมที่ 69 V



(ก)



(ข)

รูปที่ 4.10 (ก) แสดงสัญญาณของไม่มีโหลดหลัก

(ข) โหลดของเครื่อง Diversion Load Controller

จากรูปพบว่า เมื่อไม่มีโหลดหลักได้แรงดันไฟฟ้าที่ตกคร่อม 236 V ทำให้เครื่อง Diversion Load Controller สัญญาณควบคุมที่ประมาณ 45 % Duty Cycle เพื่อให้มีการทำงานที่ โหลดของเครื่อง Diversion Load Controller ซึ่งได้แรงดันไฟฟ้าตกคร่อมที่ 130 V

จากผลการทดสอบการทำงานเครื่อง Diversion Load Controller กับอินดักชันแมชชีน (Induction machines) ดังแสดงไว้ในตารางที่ 4.3, รูปที่ 4.7-4.10 และกราฟแสดงความสัมพันธ์ กำลังไฟฟ้าระหว่างโหลดหลักกับโหลดของเครื่อง Diversion Load Controller พบว่า โหลดหลัก (โหลดไฟขนาด 100 W) ได้กำลังไฟฟ้าและแรงดันไฟฟ้าที่ตกคร่อมเท่ากับ 90 W และ 200 V และที่ โหลดของเครื่อง Diversion Load Controller (โหลดไฟขนาด 100 W) ได้ได้กำลังไฟฟ้าและแรงดันไฟฟ้าที่ตกคร่อมเท่ากับ 10 W และ 12 V, โหลดหลัก (โหลดไฟขนาด 60 W) ได้กำลังไฟฟ้าและแรงดันไฟฟ้าที่ตกคร่อมเท่ากับ 60 W และ 208 V และที่โหลดของเครื่อง Diversion Load Controller (โหลดไฟขนาด 100 W) ได้ได้กำลังไฟฟ้าและแรงดันไฟฟ้าที่ตกคร่อมเท่ากับ 40 W และ 48 V, โหลดหลัก (โหลดไฟขนาด 40 W) ได้กำลังไฟฟ้าและแรงดันไฟฟ้าที่ตกคร่อมเท่ากับ 40 W และ 211 V และที่โหลดของเครื่อง Diversion Load Controller (โหลดไฟขนาด 100 W) ได้ได้กำลังไฟฟ้าและแรงดันไฟฟ้าที่ตกคร่อมเท่ากับ 50 W และ 69 V และไม่มีโหลดหลักได้กำลังไฟฟ้าและแรงดันไฟฟ้าที่ตกคร่อมเท่ากับ 0 W และ 215 V และที่โหลดของเครื่อง Diversion Load Controller (โหลดไฟขนาด 100 W) ได้ได้กำลังไฟฟ้าและแรงดันไฟฟ้าที่ตกคร่อมเท่ากับ 70 W และ 130 V

เพราะฉะนั้นจึงสรุปได้ว่าเมื่อโหลดมีกำลังไฟฟ้าไม่เท่ากับแหล่งกำเนิดไฟฟ้าผลิตให้มา ซึ่งจะส่งผลให้แหล่งกำเนิดไฟฟ้านั้นมีแรงดันไฟฟ้าที่สูงกว่าแรงดันไฟฟ้าที่อุปกรณ์ทางไฟฟ้าจะสามารถทนได้ทำให้เครื่อง Diversion Load Controller ทำงานเพื่อที่จะเพิ่มกำลังไฟฟ้าที่เหลือจากโหลดหลักให้ได้เท่าหรือใกล้เคียงกับแหล่งกำเนิดไฟฟ้า และทำให้เกิดการรักษาแรงดันไฟฟ้าให้อยู่ในระดับที่ใช้งานกับอุปกรณ์ทางไฟฟ้าได้ โดยการเพิ่มโหลดของเครื่อง Diversion Load Controller

บทที่ 5

สรุปผลและการวิเคราะห์

ในบทนี้จะเป็นการสรุปผลที่ได้จากการทำโครงการนี้ พร้อมเสนอแนะแนวทางในการนำโครงการนี้ไปพัฒนาให้มีประสิทธิภาพให้มากยิ่งขึ้นได้ในอนาคต

5.1 สรุปผล

โครงการนี้เป็นการสร้างเครื่องซึ่งถูกเรียกว่า Diversion Load Controller ซึ่งทำหน้าที่ในการควบคุมกำลังไฟฟ้าที่ผลิตได้กับกำลังไฟฟ้าที่ใช้ในหน่วยการผลิตไฟฟ้าขนาดเล็ก (pico plant) จากผลการทดลองพบว่าเครื่อง Diversion Load Controller สามารถควบคุมกำลังไฟฟ้าที่ผลิตได้กับกำลังที่ใช้มีค่าใกล้เคียงกันได้ โดยใช้ไมโครคอนโทรลเลอร์เป็นตัวควบคุมขาเกิดของมอเตอร์ ทำการจุดชนวนที่มุมต่างๆ เพื่อให้ได้เอาต์พุตที่ต้องการ ซึ่งจากรูปผลการทดลองจะเห็นว่า โครงการนี้สามารถนำไมโครคอนโทรลเลอร์มาเป็นตัวควบคุมให้กับระบบ เพื่อสร้างสัญญาณในการจุดชนวนให้แก่มอเตอร์ ซึ่งลดความซับซ้อนของระบบลง และยังสามารถควบคุมแรงดันเอาต์พุตได้

5.2 ปัญหาที่พบ

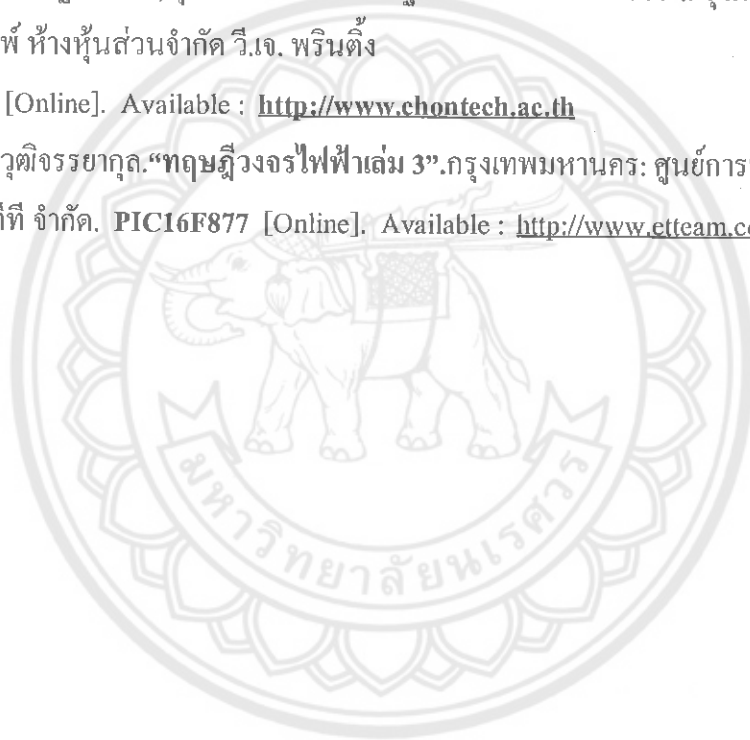
- ปัญหาเรื่องความร้อนของตัวมอเตอร์เมื่อได้รับสัญญาณทริกเมื่อใช้ในเวลานาน
- ปัญหาเรื่องตัวเก็บประจุที่เกิดการระเบิดบ่อยครั้งเนื่องจากได้แรงดันค่อนข้างสูงก่อนจะจ่ายไฟ ให้กับขาแคโรน (Drain) ของมอเตอร์

5.3 แนวทางการแก้ไขปัญหา

- ต้องทำการติดพัดลมเพื่อช่วยระบายความร้อนในวงจร
- ใช้ขนาดตัวเก็บประจุให้มีขนาดพิกัดทนแรงดันได้อย่างเหมาะสม

บรรณานุกรม

- [1] รศ.ธีรวัฒน์ ประกอบผล. “ภาษาแอสเซมบลีสำหรับMCS-51”. กรุงเทพมหานคร : สำนักพิมพ์
ส.ส.ท. 2546
- [2] รศ.ธีรวัฒน์ ประกอบผล. “การประยุกต์ใช้งานไมโครคอนโทรลเลอร์”. กรุงเทพมหานคร :
สำนักพิมพ์ ส.ส.ท. 2543
- [3] นายวัชรินทร์-เคารพ. “เรียนรู้และเข้าใจไมโครคอนโทรลเลอร์ PIC ด้วยภาษาเบสิก”.
กรุงเทพมหานคร : บริษัท อีทีที จำกัด. 2547
- [4] รศ.ดร.วีระเชษฐ ชันเงิน, วุฒิพล ชาราธิรเศรษฐ์. “อิเล็กทรอนิกส์กำลัง”. กรุงเทพมหานคร:
สำนักพิมพ์ ห้างหุ้นส่วนจำกัด วิ.เจ. พรินติ้ง
- [5] มอสเฟต [Online]. Available : <http://www.chontech.ac.th>
- [6] ไมตรี วรวิจิตรรยากุล. “ทฤษฎีวงจรไฟฟ้าเล่ม 3”. กรุงเทพมหานคร: ศูนย์การพิมพ์พลชัย
- [7] บริษัท อีทีที จำกัด. PIC16F877 [Online]. Available : <http://www.etteam.com>







โปรแกรมเครื่อง Diversion Load Controller

```
INCLUDE "bs2defs.bas"
```

```
DEFINE OSC 4
```

```
DEFINE ADC_BITS 10
```

```
DEFINE ADC_CLOCK 3
```

```
DEFINE ADC_SAMPLESUS 500
```

```
RES VAR WORD
```

```
K VAR WORD
```

```
REF VAR WORD
```

```
ERR1 VAR WORD
```

```
ERR2 VAR WORD
```

```
ADCON1 = 00000000
```

```
ADCON1.7 = 1
```

```
TRISA = %11111111
```

```
TRISB = %00000000
```

```
K = 50
```

```
REF = 615
```

```
PAUSE 1000
```

```
MAIN:
```

```
    ADCIN 2,RES
```

```
    = ERR1 = RES - REF
```

```
    ERR2 = ERR1 / 10
```

```
    IF (RES <= REF) THEN
```

```
        PORTB = %11110000
```

```
        PAUSEUS 1000
```

```
        GOTO MAIN
```

```
    ENDIF
```

```
IF (RES > REF) AND (ERR2*K < 1000) THEN
```

```
    PORTB = %00001111
```

```
    PAUSEUS ERR2*K
```

```
    PORTB = %11110000
```

```
    PAUSEUS 1000 - ERR2*K
```

```
    GOTO MAIN
```

```
ENDIF
```

```
IF (RES > REF) AND (ERR2*K >= 1000) THEN
```

```
    PORTB = %00001111
```

```
    PAUSEUS 1000
```

```
    GOTO MAIN
```

```
ENDIF
```

```
GOTO MAIN
```

```
END
```



ประวัติผู้เขียนโครงการ



ชื่อนายนรเศรษฐ์ สุขทรัพย์

ภูมิลำเนา 28/72 ถ.สิงห์วัฒน์ อ.เมือง จ.พิษณุโลก 65000

ประวัติการศึกษา

- จบระดับมัธยมศึกษาจากโรงเรียนพิษณุโลกพิทยาคม

- ปัจจุบันกำลังศึกษาในระดับปริญญาตรีชั้นปีที่ 4

สาขาวิชาวิศวกรรมไฟฟ้า คณะวิศวกรรมศาสตร์

มหาวิทยาลัยนเรศวร

E-mail : baby_jumbo22@hotmail.com



ชื่อนายประกาศิต รอดฉาย

ภูมิลำเนา 171 ม.8 ต.ชัยนาม อ.วังทอง จ.พิษณุโลก 65130

ประวัติการศึกษา

- จบระดับมัธยมศึกษาจากโรงเรียนพิษณุโลกพิทยาคม

- ปัจจุบันกำลังศึกษาในระดับปริญญาตรีชั้นปีที่ 4

สาขาวิชาวิศวกรรมไฟฟ้า คณะวิศวกรรมศาสตร์

มหาวิทยาลัยนเรศวร

E-mail : maxarmy@hotmail.com